5^{ème} Ecole d'automne du GDR MBS

Eco-conception des matériaux biosourcés et géosourcés : de la ressource à la fin de vie

12 au 16 octobre 2025, Douai



Transferts thermiques

Didier DEFER didier.defer@univ-artois.fr











Caractérisation des propriétés thermiques des parois en matériaux biosourcés

- Les propriétés thermiques des matériaux biosourcés sont présentées comme un des atouts
- La caractérisation de leur propriétés thermiques sont au cœur des études que ce soit à l'échelle du matériau ou à l'échelle de parois en laboratoire ou in situ
 - Résistance et conductivité
 - Chaleur volumique
 - Déphasage
 - Amortissement



Equations de base

$$\frac{\partial T(x,y,z,t)}{\partial t} = a. \Delta T(x,y,z,t)$$

équation de diffusion thermique

$$\vec{q}(x, y, z, t) = -\lambda . \overrightarrow{grad} T(x, y, z, t)$$
 Loi de Fourier

Quelques remarques:

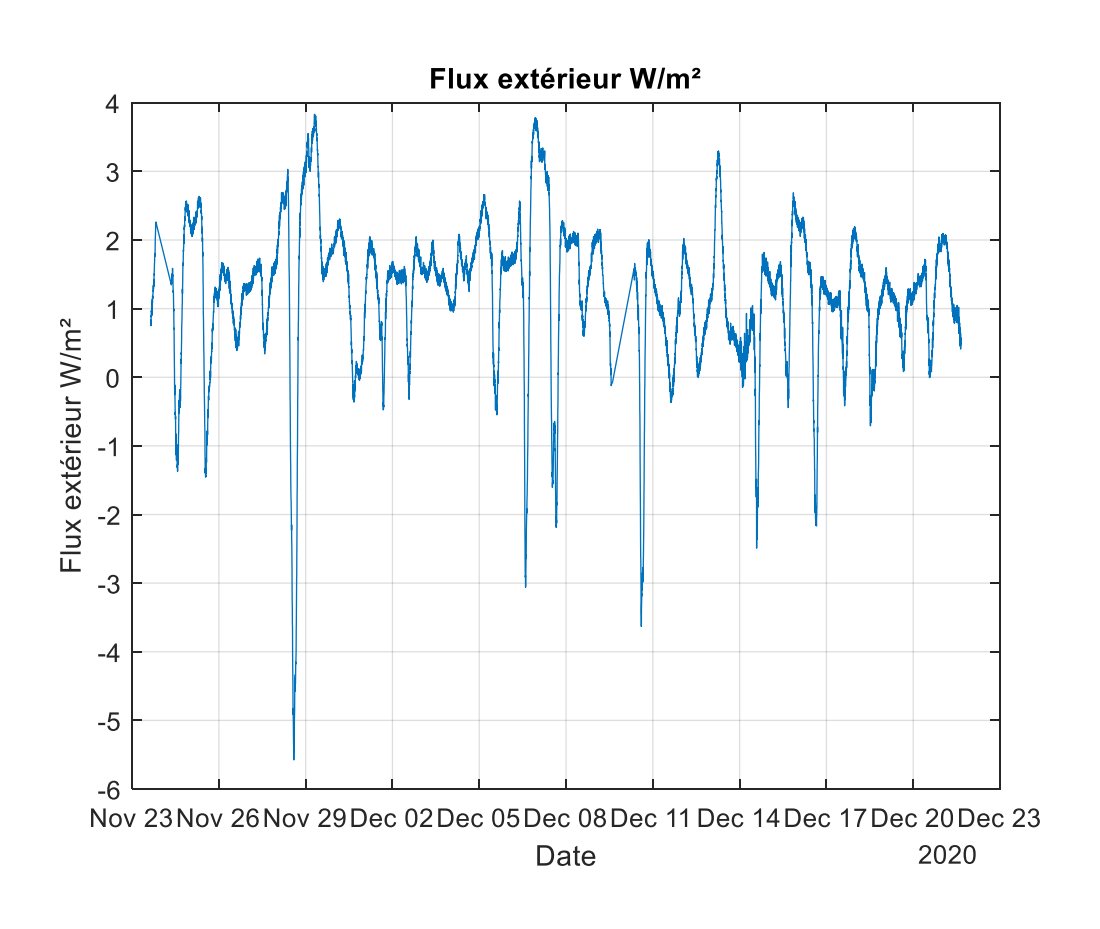
Autres écritures pour d'autres systèmes de coordonnées

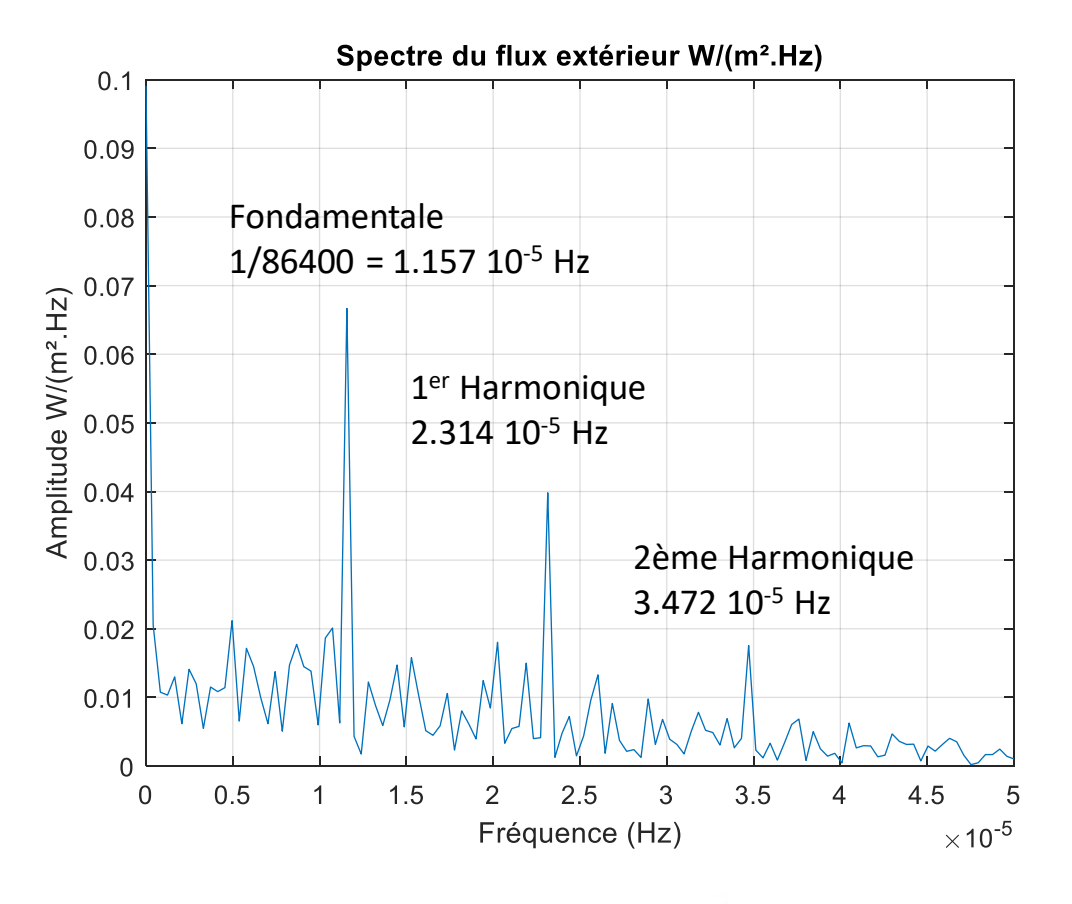
La conductivité thermique et la diffusivité thermique ne sont jamais des constantes

- Fonction de la température
- Dans le cas de matériaux biosourcés (matériaux non isotropes, hétérogènes)
 - Propriétés équivalentes
 - Fonction de la position
 - Fonction de la direction
 - Fonction de la teneur en eau



Signaux thermiques du bâtiment







Transformation de Laplace

$$\varphi(x,p) = \int_0^\infty q(x,t). e^{-pt} dt$$

$$\theta(x,p) = \int_0^\infty T(x,t). e^{-pt} dt$$

$$\theta(x,p) = \int_0^\infty T(x,t). e^{-pt} dt$$

$$\theta(x,p) = \int_0^\infty T(x,t). e^{-pt} dt$$

$$\theta(x,p) = -\lambda. \frac{\partial \varphi(x,p)}{\partial x}$$

Conditions limites

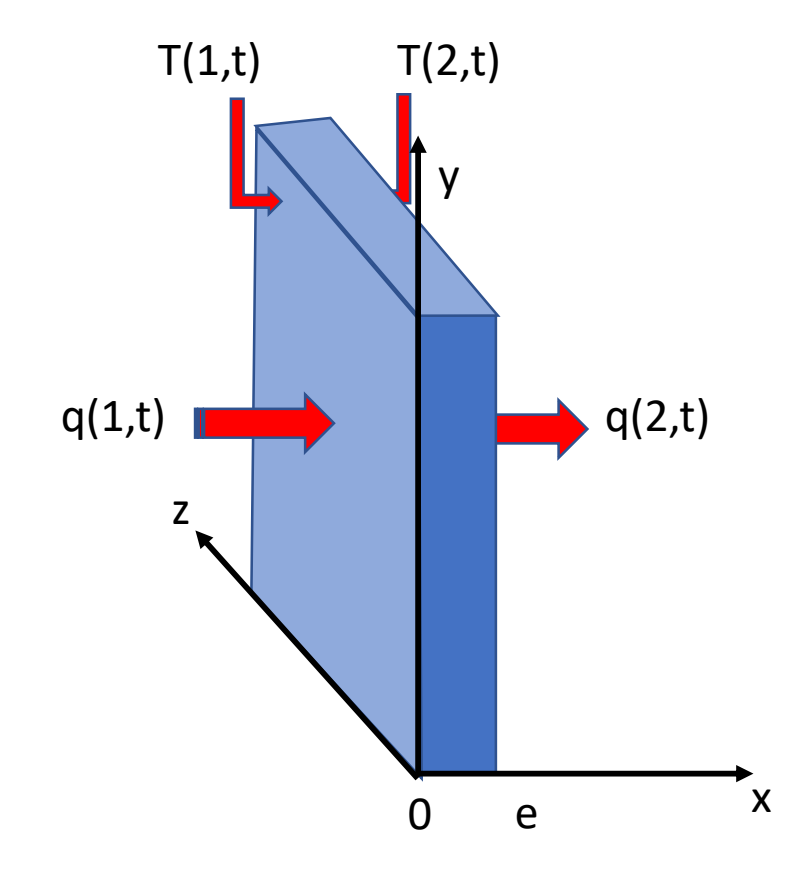
$$en x = 0 : T(1,t), q(1,t)$$

 $en x = e : T(2,t), q(2,t)$

Conditions initiales

$$pour\ tout\ x:T(x,0^+)=0$$

$$\begin{bmatrix} \theta_1(p) \\ \varphi_1(p) \end{bmatrix} = \begin{bmatrix} ch\left(e\sqrt{\frac{p}{a}}\right) & \frac{1}{\lambda\sqrt{\frac{p}{a}}}.sh\left(e\sqrt{\frac{p}{a}}\right) \\ \lambda\sqrt{\frac{p}{a}}.sh\left(e\sqrt{\frac{p}{a}}\right) & ch\left(e\sqrt{\frac{p}{a}}\right) \end{bmatrix} \begin{bmatrix} \theta_2(p) \\ \varphi_2(p) \end{bmatrix} \qquad \lambda$$



diffusivité thermique J.m⁻³.K⁻¹ conductivité thermique W.m⁻¹.K⁻¹



Rappel: Trigonométrie hyperbolique

$$sh(x) = \frac{e^x - e^{-x}}{2}$$
 $sh(jx) = \frac{e^{jx} - e^{-jx}}{2} = j \sin(x)$

$$ch(x) = \frac{e^x + e^{-x}}{2}$$
 $ch(jx) = \frac{e^{jx} + e^{-jx}}{2} = \cos(x)$

$$ch^2(x) - sh^2(x) = 1$$

$$ch(x + y) = ch(x).ch(y) + sh(x).sh(y)$$
 $ch(x + jy) = ch(x).cos(y) + j.sh(x).sin(y)$
 $sh(x + y) = sh(x).ch(y) + ch(x).sh(y)$ $sh(x + jy) = sh(x).cos(y) + j.ch(x).sin(y)$



Espace de Fourier

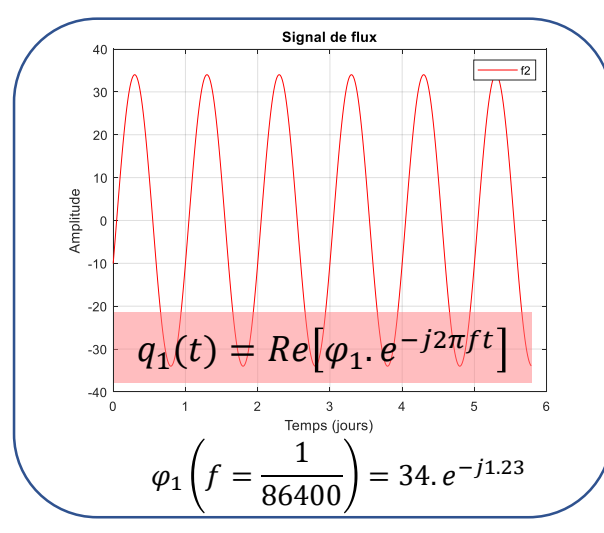
$$p = \alpha + j\omega$$
 $p = j2\pi f$ avec $j^2=-1$

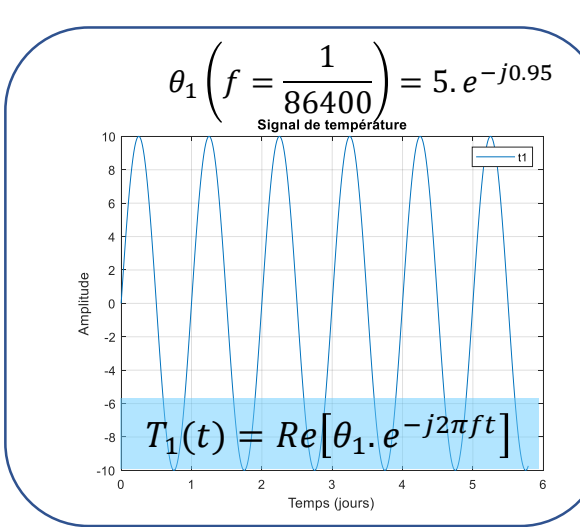
$$\begin{bmatrix} \theta_{1}(f) \\ \varphi_{1}(f) \end{bmatrix} = \begin{bmatrix} ch\left(e\sqrt{\frac{j2\pi f}{a}}\right) & \frac{1}{\lambda\sqrt{\frac{j2\pi f}{a}}}.sh\left(e\sqrt{\frac{j2\pi f}{a}}\right) \\ \lambda\sqrt{\frac{j2\pi f}{a}}.sh\left(e\sqrt{\frac{j2\pi f}{a}}\right) & ch\left(e\sqrt{\frac{j2\pi f}{a}}\right) \end{bmatrix} \begin{bmatrix} \theta_{2}(f) \\ \varphi_{2}(f) \end{bmatrix} \qquad \theta_{1}(f) \qquad e, \lambda, a \qquad \theta_{2}(f)$$

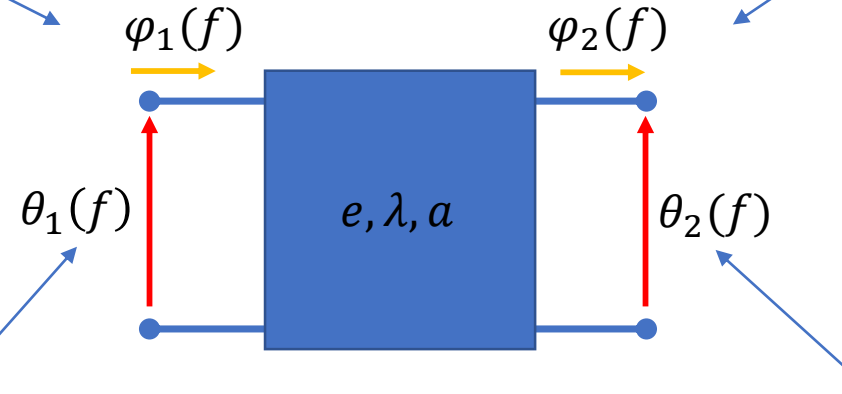
Remarque : det(M)=1



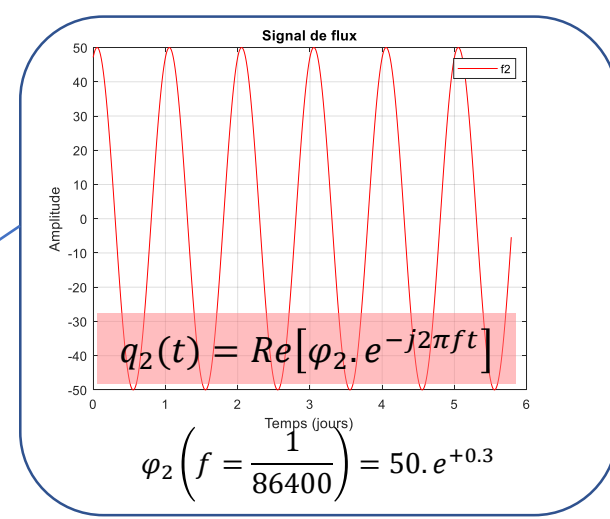
Matrice liant les amplitudes complexes

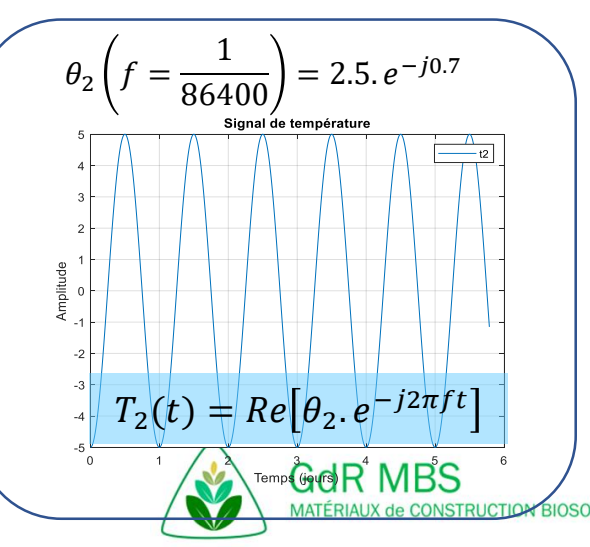






$$\begin{bmatrix} \theta_1(f) \\ \varphi_1(f) \end{bmatrix} = [M]. \begin{bmatrix} \theta_2(f) \\ \varphi_2(f) \end{bmatrix}$$





Relation entre paramètres

$$\rho c = \lambda/a$$

chaleur volumique J.m⁻³.K⁻¹

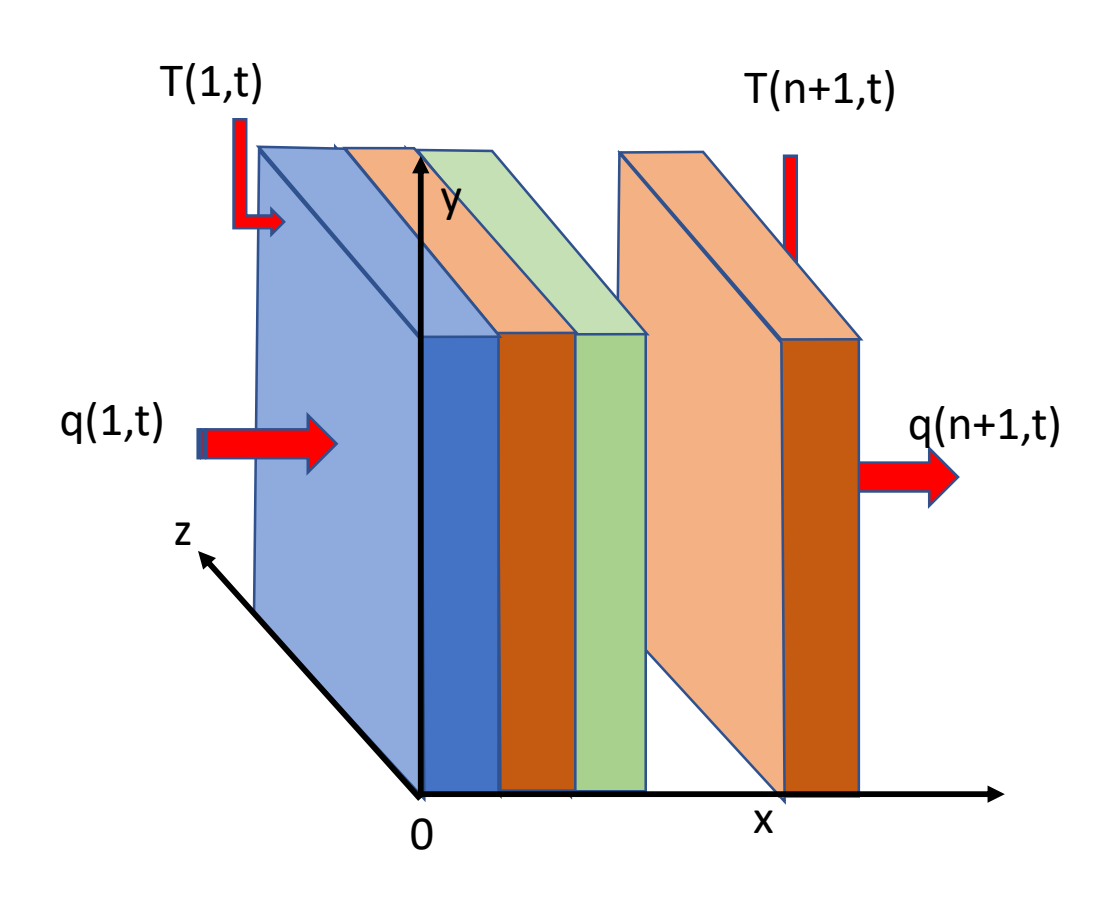
$$b = \sqrt{\lambda \rho c} = \lambda / \sqrt{a}$$

effusivité J.m⁻¹.K⁻¹.s^{-1/2}

$$\begin{bmatrix} \theta_1(f) \\ \varphi_1(f) \end{bmatrix} = \begin{bmatrix} ch\left(e\sqrt{\frac{j2\pi f}{a}}\right) & \frac{1}{b\sqrt{j2\pi f}}.sh\left(e\sqrt{\frac{j2\pi f}{a}}\right) \\ b\sqrt{j2\pi f}.sh\left(e\sqrt{\frac{j2\pi f}{a}}\right) & ch\left(e\sqrt{\frac{j2\pi f}{a}}\right) \end{bmatrix} \begin{bmatrix} \theta_2(f) \\ \varphi_2(f) \end{bmatrix}$$



Cas d'une paroi multicouche (1D)



$$\begin{bmatrix} \theta_1(f) \\ \varphi_1(f) \end{bmatrix} = \begin{bmatrix} ch\left(e_1\sqrt{\frac{j2\pi f}{a_1}}\right) & \frac{1}{\lambda_1\sqrt{\frac{j2\pi f}{a_1}}}.sh\left(e_1\sqrt{\frac{j2\pi f}{a_1}}\right) \\ \lambda_1\sqrt{\frac{j2\pi f}{a_1}}.sh\left(e_1\sqrt{\frac{j2\pi f}{a_1}}\right) & ch\left(e_1\sqrt{\frac{j2\pi f}{a_1}}\right) \end{bmatrix} \begin{bmatrix} \theta_2(f) \\ \varphi_2(f) \end{bmatrix}$$

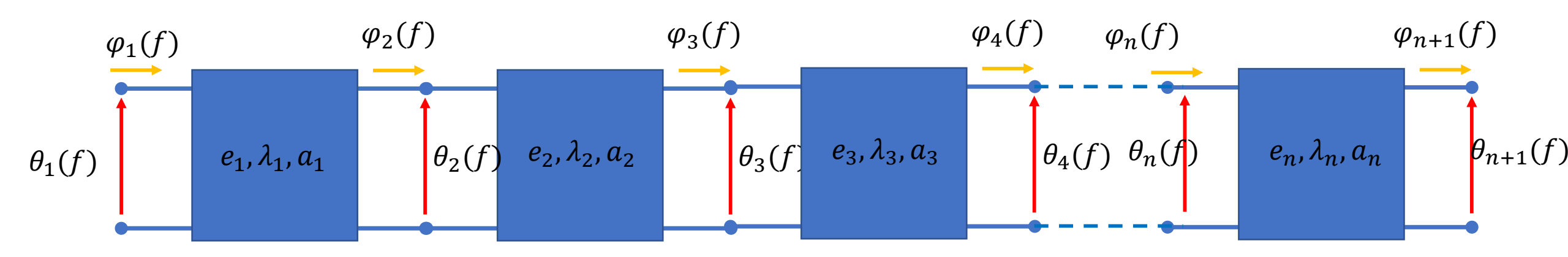
$$\begin{bmatrix} \theta_2(f) \\ \varphi_2(f) \end{bmatrix} = \begin{bmatrix} ch\left(e_2\sqrt{\frac{j2\pi f}{a_2}}\right) & \frac{1}{\lambda_2\sqrt{\frac{j2\pi f}{a_2}}}.sh\left(e_2\sqrt{\frac{j2\pi f}{a_2}}\right) \\ \lambda_2\sqrt{\frac{j2\pi f}{a_2}}.sh\left(e_2\sqrt{\frac{j2\pi f}{a_2}}\right) & ch\left(e_2\sqrt{\frac{j2\pi f}{a_2}}\right) \end{bmatrix} \begin{bmatrix} \theta_3(f) \\ \varphi_3(f) \end{bmatrix}$$

$$\begin{bmatrix} \theta_n(f) \\ \varphi_n(f) \end{bmatrix} = \begin{bmatrix} ch\left(e_{n+1}\sqrt{\frac{j2\pi f}{a_{n+1}}}\right) & \frac{1}{\lambda_n\sqrt{\frac{j2\pi f}{a_{n+1}}}}.sh\left(e_{n+1}\sqrt{\frac{j2\pi f}{a_{n+1}}}\right) \\ \lambda_n\sqrt{\frac{j2\pi f}{a_{n+1}}}.sh\left(e_{n+1}\sqrt{\frac{j2\pi f}{a_{n+1}}}\right) & ch\left(e_{n+1}\sqrt{\frac{j2\pi f}{a_{n+1}}}\right) \end{bmatrix} \begin{bmatrix} \theta_{n+1}(f) \\ \varphi_{n+1}(f) \end{bmatrix}$$



Cas d'une paroi multicouche (1D)

$$\begin{bmatrix} \theta_1(f) \\ \varphi_1(f) \end{bmatrix} = [M_1]. [M_2]. [M_3] \dots \dots [M_n]. \begin{bmatrix} \theta_{2n+1}(f) \\ \varphi_{n+1}(f) \end{bmatrix}$$



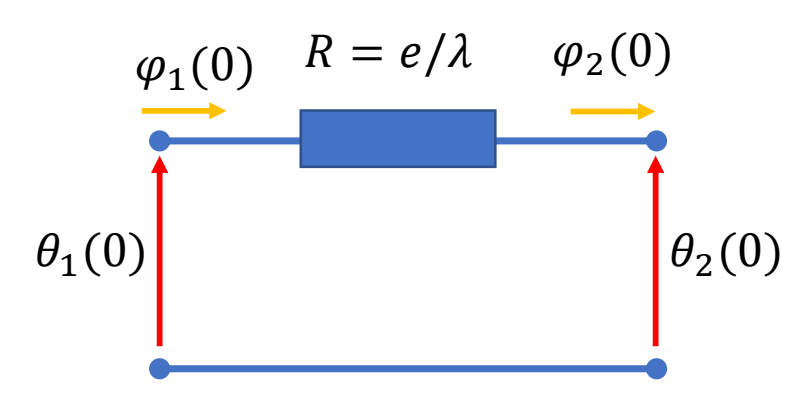


Quand f tend vers 0 (composantes continues)

$$ch\left(e\sqrt{\frac{j2\pi f}{a}}\right). \xrightarrow{f\to 0} 1$$

$$ch\left(e\sqrt{\frac{j2\pi f}{a}}\right). \xrightarrow{f\to 0} 1 \qquad \qquad sh\left(e\sqrt{\frac{j2\pi f}{a}}\right). \xrightarrow{f\to 0} e\sqrt{\frac{j2\pi f}{a}}$$

$$\theta_1(0) = \theta_2(0) + \frac{e}{\lambda} \cdot \varphi_2(0)$$



$$\begin{bmatrix} \theta_2(0) \\ \varphi_2(0) \end{bmatrix} = \begin{bmatrix} 1 & -\frac{e}{\lambda} \\ 0 & 1 \end{bmatrix} \begin{bmatrix} \theta_1(0) \\ \varphi_1(0) \end{bmatrix} \qquad \mathbf{2} \qquad \qquad \theta_2(0) = \theta_1(0) - \frac{e}{\lambda} \cdot \varphi_1(0)$$

$$\theta_2(0) = \theta_1(0) - \frac{e}{\lambda}.\varphi_1(0)$$

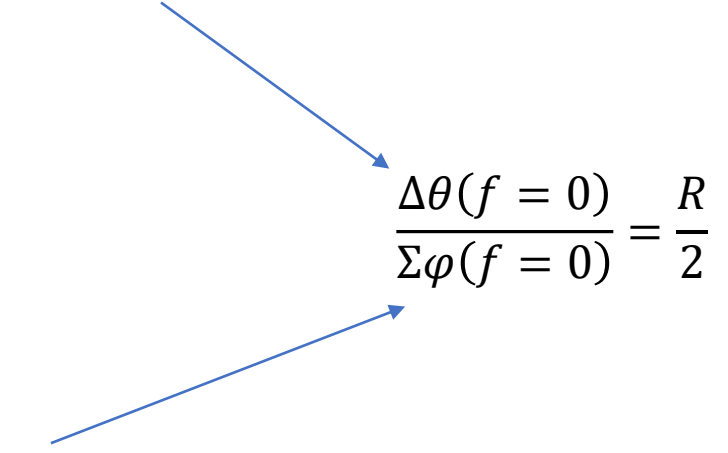
1-2
$$2(\theta_1(0) - \theta_2(0)) = \frac{e}{\lambda} \cdot (\varphi_1(0 + \varphi_2(0)))$$

$$2\Delta\theta(0) = \frac{e}{\lambda} \cdot \Sigma\varphi(0) \longrightarrow \left[\lambda = e \frac{\Sigma\varphi(0)}{2\Delta\theta(0)} \right].$$

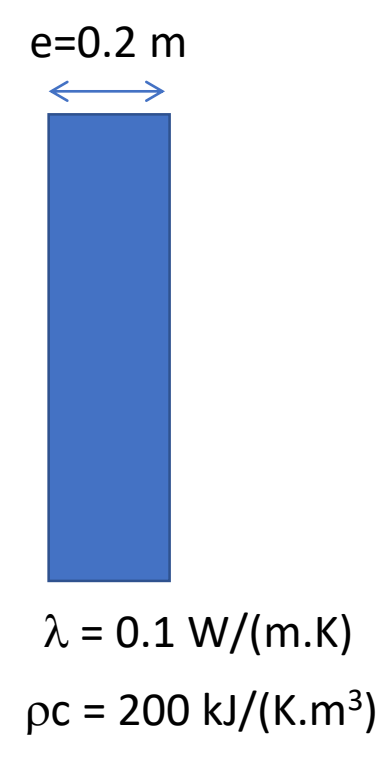


Mise en pratique

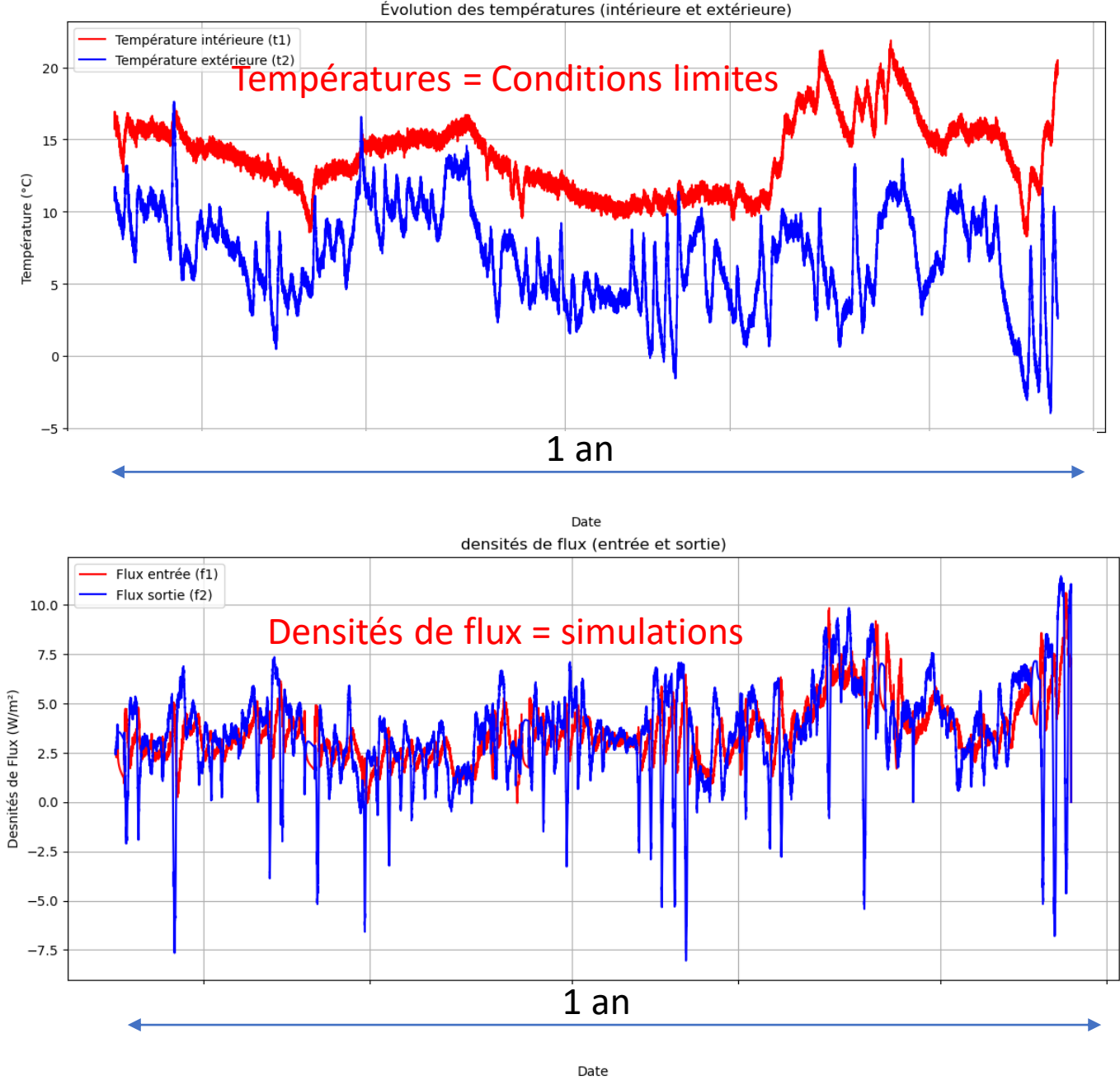
Moyenne de la différence des températures



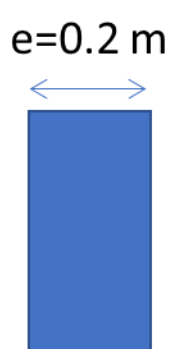
Moyenne de la somme des flux







Simulation différences finies

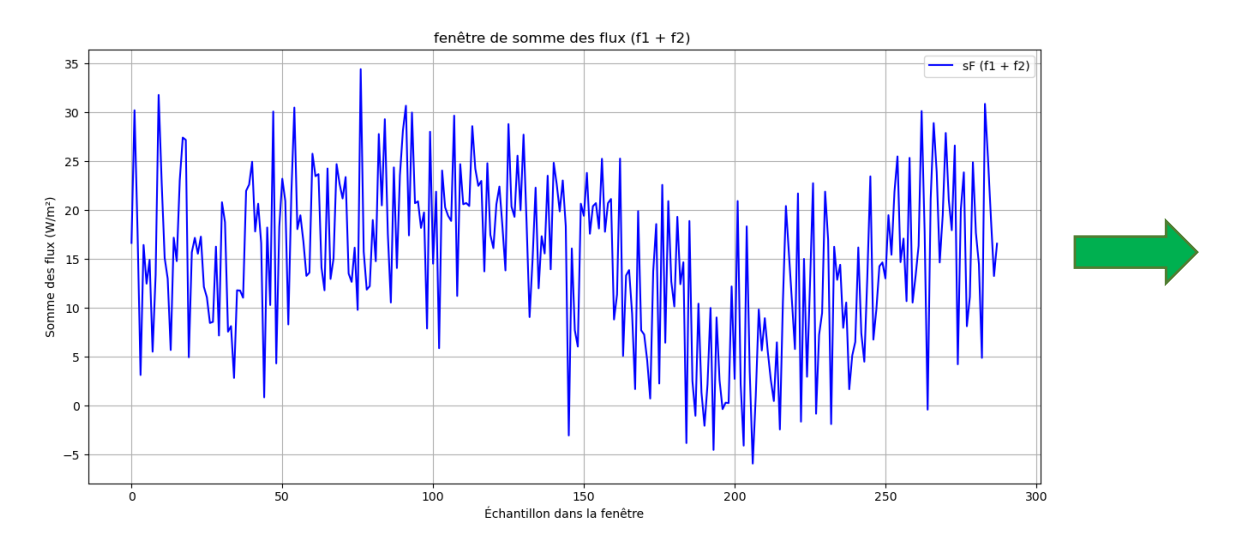


 λ = 0.1 W/(m.K)

 $\rho c = 200 \text{ kJ/(K.m}^3)$



Fenêtre de 1 journée choisie au hasard



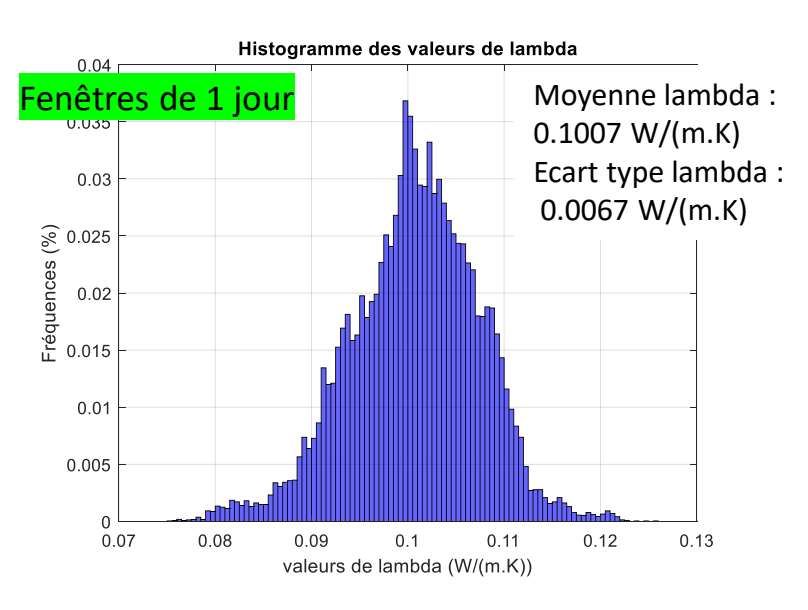
Moyenne de la somme des flux : 15.167 W/m²

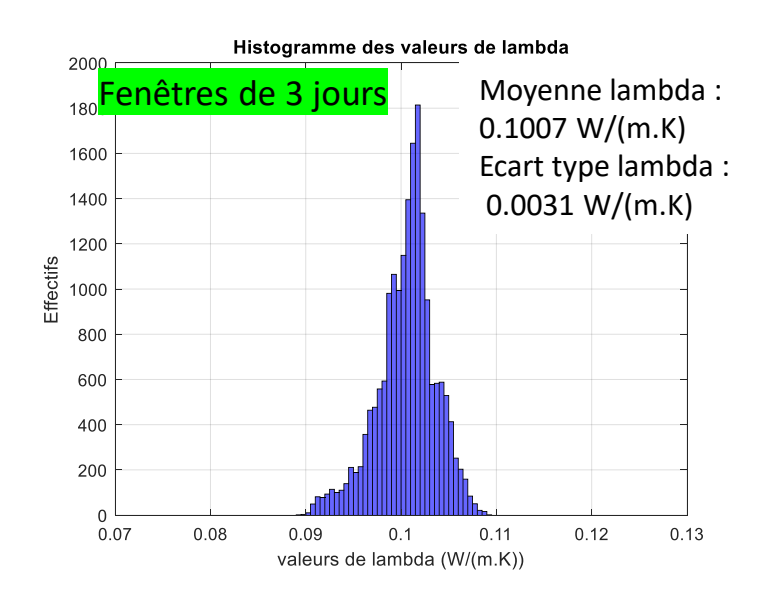
$$\lambda_{inst} = \frac{e}{R} = e \cdot \frac{\Sigma \varphi(f=0)}{2\Delta \theta(f=0)} = 0.0106 \text{ W/(m.K)}$$

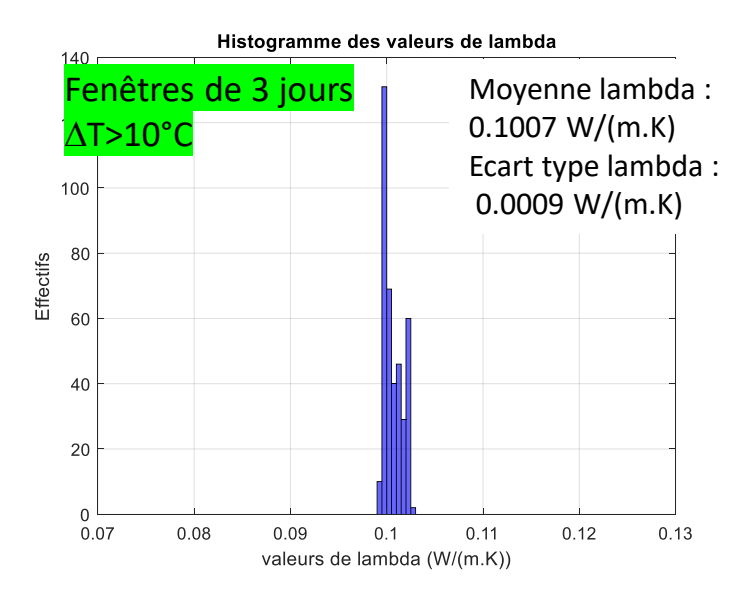
Moyenne de la différence des températures : 14.345 °C



Amélioration de la précision



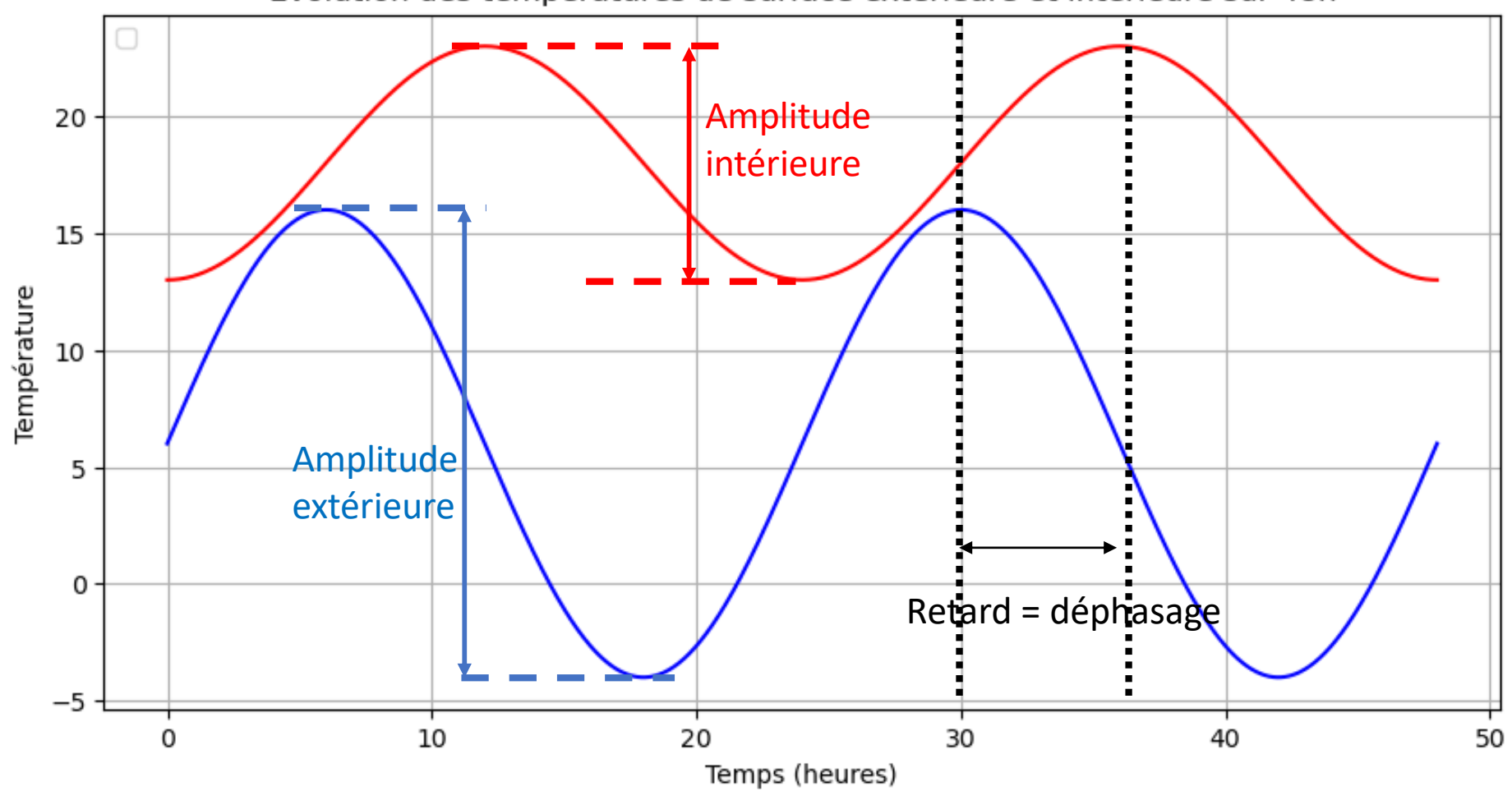






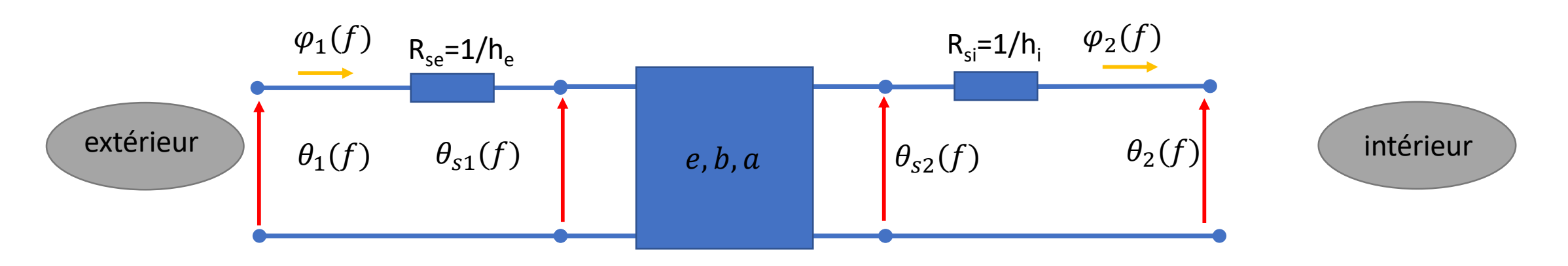
Déphasage et Amortissement

Évolution des températures de surface extérieure et intérieure sur 48h





Déphasage et Amortissement



De quoi par rapport à quoi ?

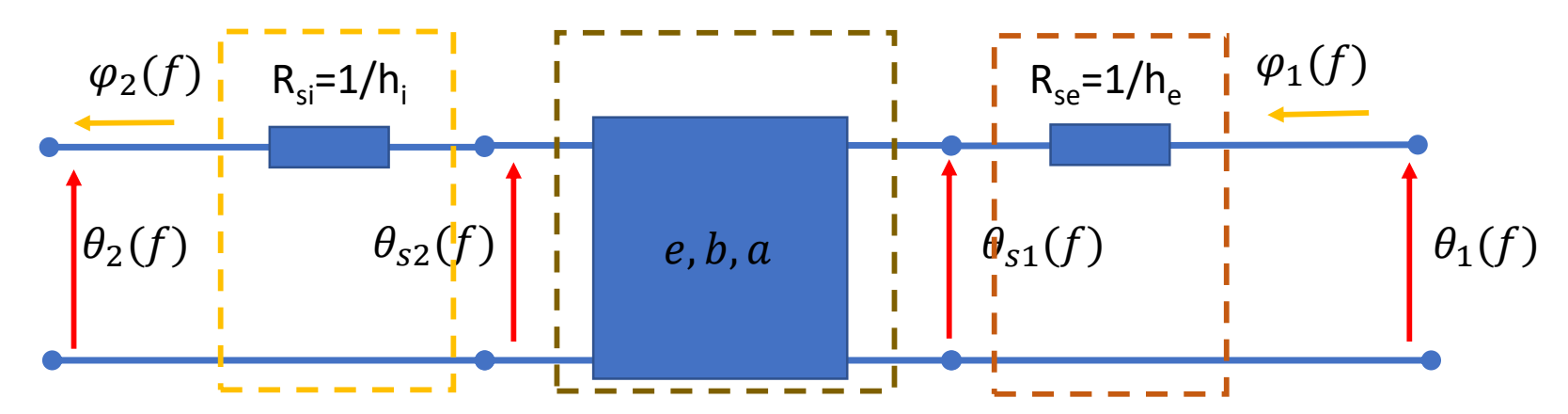
 θ_2 par rapport à θ_1

 φ_2 par rapport à φ_1

 θ_{s2} par rapport à θ_{s1}



Norme EN ISO NF 13786



⚠ Le sens est inversé

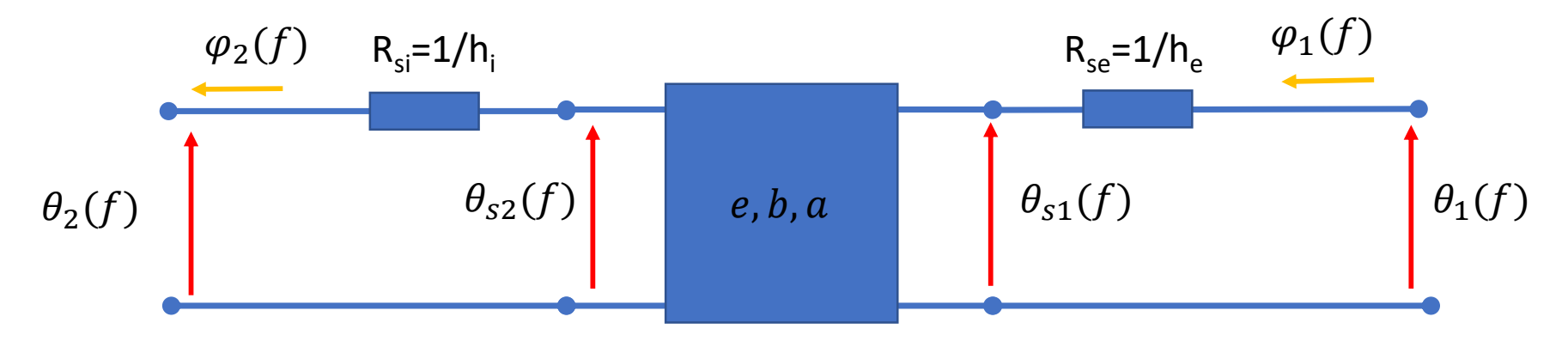
$$\begin{bmatrix} \theta_{2}(f) \\ \varphi_{2}(f) \end{bmatrix} = \begin{bmatrix} 1 & -R_{si} \\ 0 & 1 \end{bmatrix} \begin{bmatrix} Z_{11p} & Z_{12p} \\ Z_{21p} & Z_{22p} \end{bmatrix} \begin{bmatrix} 1 & -R_{se} \\ 0 & 1 \end{bmatrix} \begin{bmatrix} \theta_{1}(f) \\ \varphi_{1}(f) \end{bmatrix}$$

$$\begin{bmatrix} \theta_2(f) \\ \varphi_2(f) \end{bmatrix} = \begin{bmatrix} Z_{11} & Z_{12} \\ Z_{21} & Z_{22} \end{bmatrix} \begin{bmatrix} \theta_1(f) \\ \varphi_1(f) \end{bmatrix}$$



Norme EN ISO NF 13786:

Coefficient de transmission thermique périodique Y_{12}



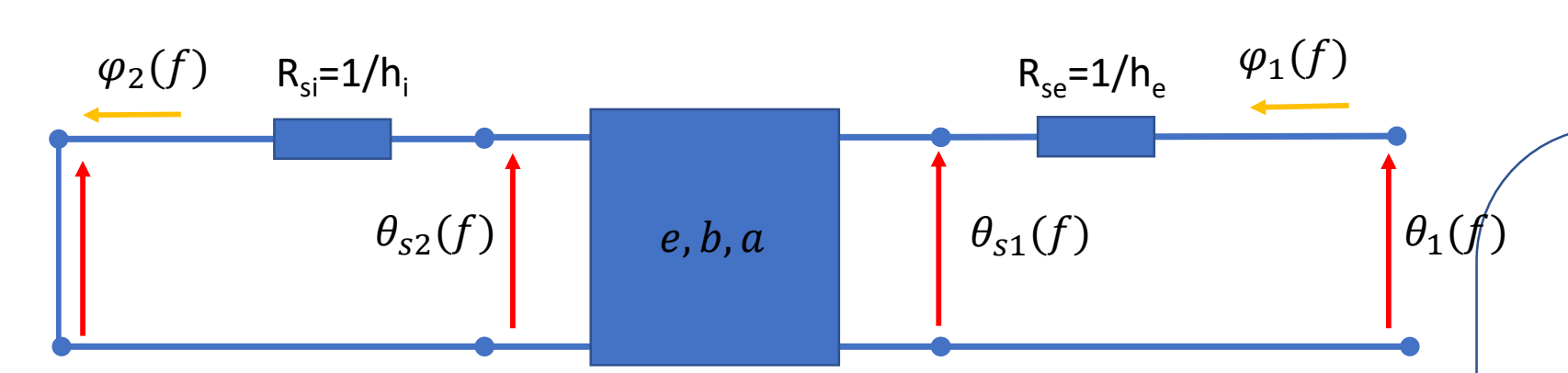
$$\begin{bmatrix} \varphi_1(f) \\ -\varphi_2(f) \end{bmatrix} = \frac{1}{Z_{12}} \begin{bmatrix} -Z_{11} & 1 \\ 1 & -Z_{22} \end{bmatrix} \begin{bmatrix} \theta_1(f) \\ \theta_2(f) \end{bmatrix} \longrightarrow \qquad \varphi_2(f) = \frac{-1}{Z_{12}} \cdot \theta_1(f) + Z_{22} \cdot \theta_2(f)$$

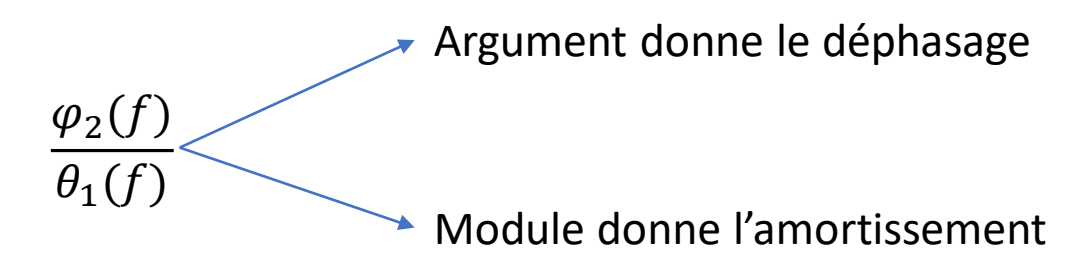
Caractéristiques thermiques dynamiques

Coefficient de transmission thermique périodique Y_{12} Avec Y_{12} =-1/ Z_{12} = $\frac{\varphi_2(f)}{\theta_1(f)}$ avec $\theta_2(f)$ =0



Déphasage et Amortissement





$$\frac{\varphi_2(f)}{\theta_1(f)}$$
 dépend de :

- a,b,e : les caractéristiques du matériau
- h_i et h_e: les coefficients d'échange
- f : la fréquence
- $\theta_2(f)$



Exemple (celui de la norme) Mur homogène de béton φ_2/θ_1

Conductivité thermique λ =1.8 W/(m.K) Masse volumique ρ = 2400 kg/m³ Capacité thermique massique c=1000 J/(kg.K) Epaisseur = 0.2 m Période = 24h f=1.157 10^{-5} Hz Rsi=0.13 K.m²/W Rse=0.04 K.m²/W

$$\begin{bmatrix} \theta_2(f) \\ \varphi_2(f) \end{bmatrix} = \begin{bmatrix} 1 & -0.13 \\ 0 & 1 \end{bmatrix} \begin{bmatrix} 0.3788 + 1.8585\mathrm{i} & -0.0973 - 0.0705\mathrm{i} \\ 22.1609 - 30.5525\mathrm{i} & 0.3788 + 1.8585\mathrm{i} \end{bmatrix} \begin{bmatrix} 1 & -0.04 \\ 0 & 1 \end{bmatrix} \begin{bmatrix} \theta_1(f) \\ \varphi_1(f) \end{bmatrix}$$

$$\begin{bmatrix} \theta_2(f) \\ \varphi_2(f) \end{bmatrix} = \begin{bmatrix} -2.5021 + 5.8303i & -0.0464 - 0.5454i \\ 22.1609 - 30.5525i & -0.5076 + 3.0806i \end{bmatrix} \begin{bmatrix} \theta_1(f) \\ \varphi_1(f) \end{bmatrix}$$

$$Z12 = -0.0464 - 0.5454i$$

 $Y12 = 0.1549 - 1.8205i$

$$\frac{\varphi_2(f)}{\theta_1(f)}$$
 |Y12| = 1.83 W/(m². K)
arg(Y12)= -1.49 rad
Déphasage = arg(Y12)*24/2 π = -5.68 h



Autre exemple paroi homogène matériau biosourcé φ_2/θ_1

Conductivité thermique λ =0.1 W/(m.K) Chaleur volumique ρ c = 200000 J/(K.m³) Epaisseur = 0.2 m

Période = 24h: $f=1.157 \cdot 10^{-5} Hz$

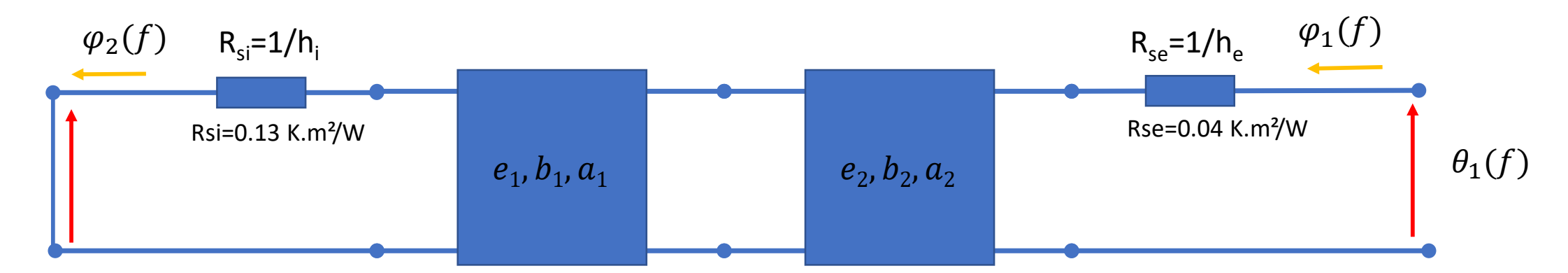
Rsi=0.13 K.m²/W Rse=0.04 K.m²/W $|Y12| = 0.37 \ W/(m^2.K)$

Déphasage = $arg(Y12)*24/2\pi = -3.97 h$

Le déphasage φ_2/φ_1 donne -6.68h



Déphasage et Amortissement



Couche a

Conductivité thermique λ =1.8 W/(m.K) Chaleur volumique ρ c = 2400*1000 J/(K.m³) Epaisseur = 0.2 m

 $|Y12_a| = 1.8271 W/(m^2.K)$ Déphasage_a = arg(Y12a)*24/2 π = -5.68 h Couche b

Conductivité thermique λ =0.1 W/(m.K) Chaleur volumique ρ c = 200000 J/(K.m³) Epaisseur = 0.2 m

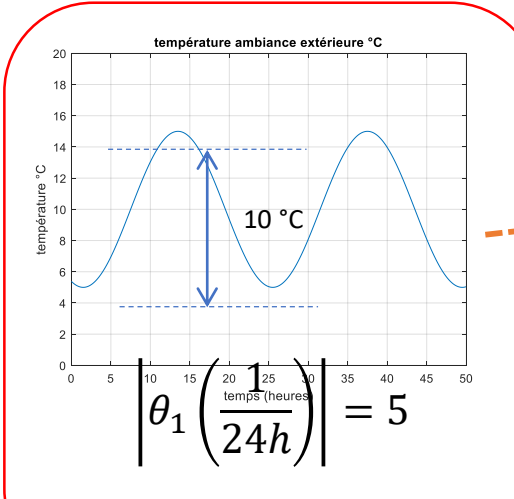
 $|Y12_b| = 0.37 \ W/(m^2.K)$ Déphasage_h = arg(Y12b)*24/2 π = -3.97 h

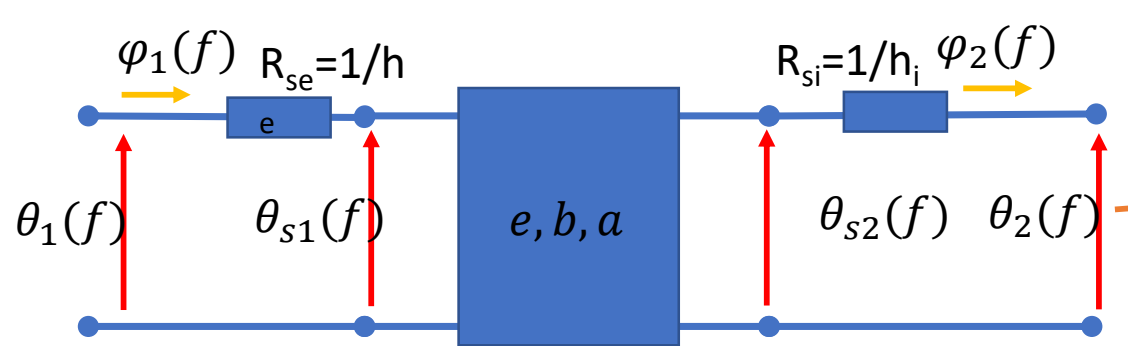
$$|Y12_{a_+b}| = 0.1151 \, W/(m^2.K)$$

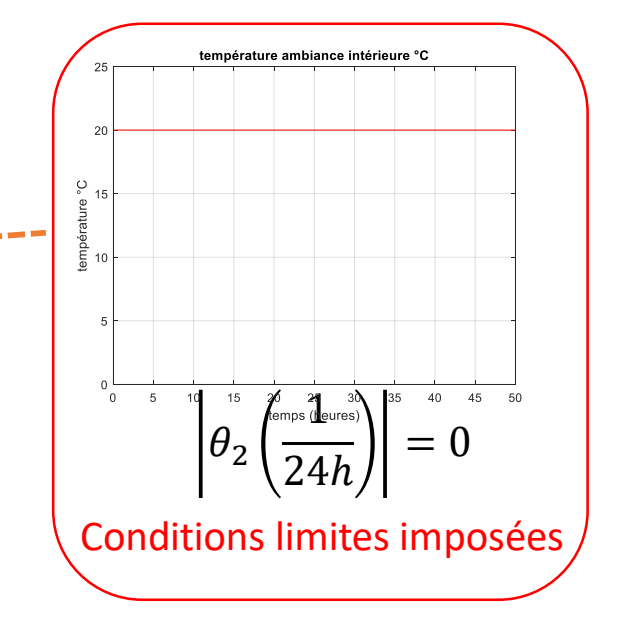
Déphasage_{a+b} = arg(Y12_{a+b})*24/2 π = -10.47 h



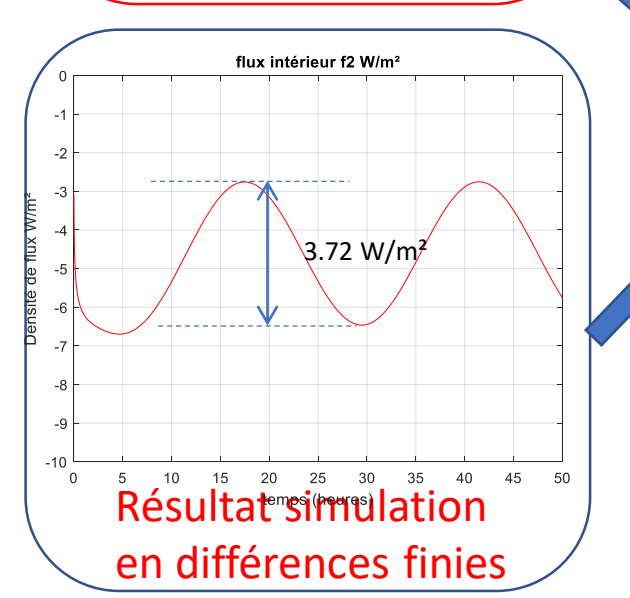
Détermination à partir des données

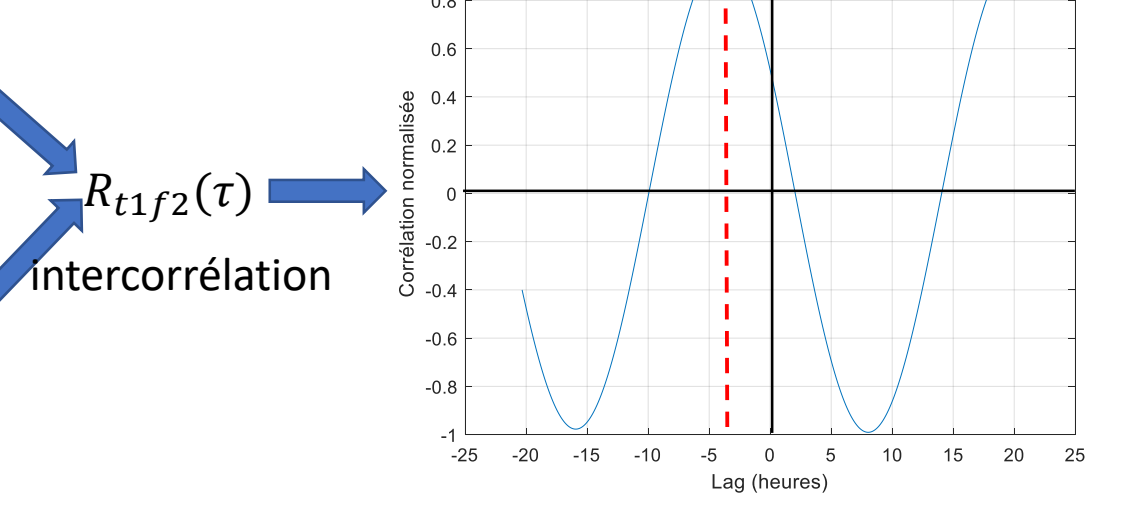












Intercorrélation t1 / f2

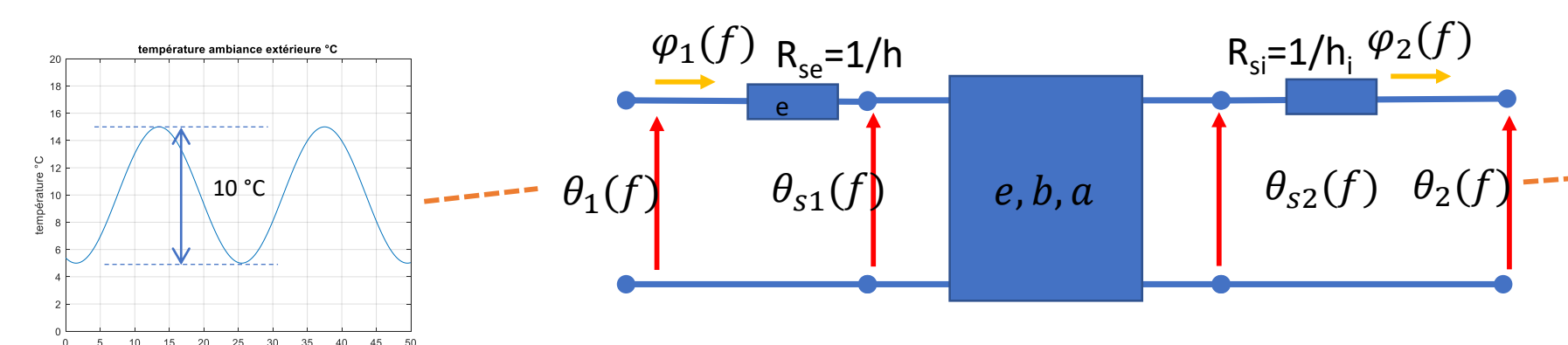
Amortissement = $0.37 W/(m^2.K)$ Déphasage : -3.94 heures

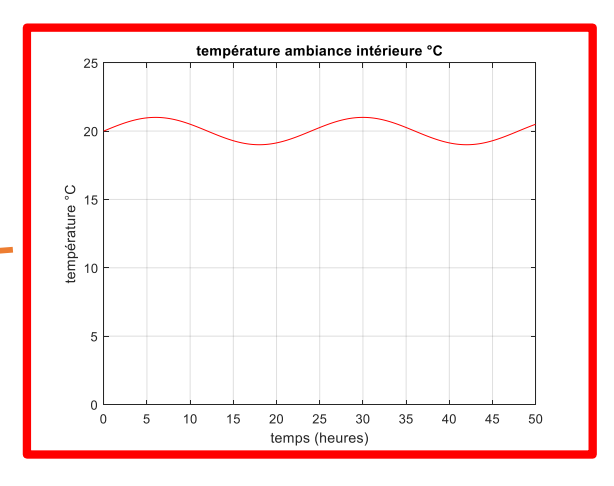
$$|Y12| = 0.37 \ W/(m^2.K)$$

Déphasage =
$$arg(Y12)*24/2\pi = -3.97 h$$



Détermination à partir des données





$$\left|\theta_2\left(\frac{1}{24h}\right)\right| = \mathbf{1}$$

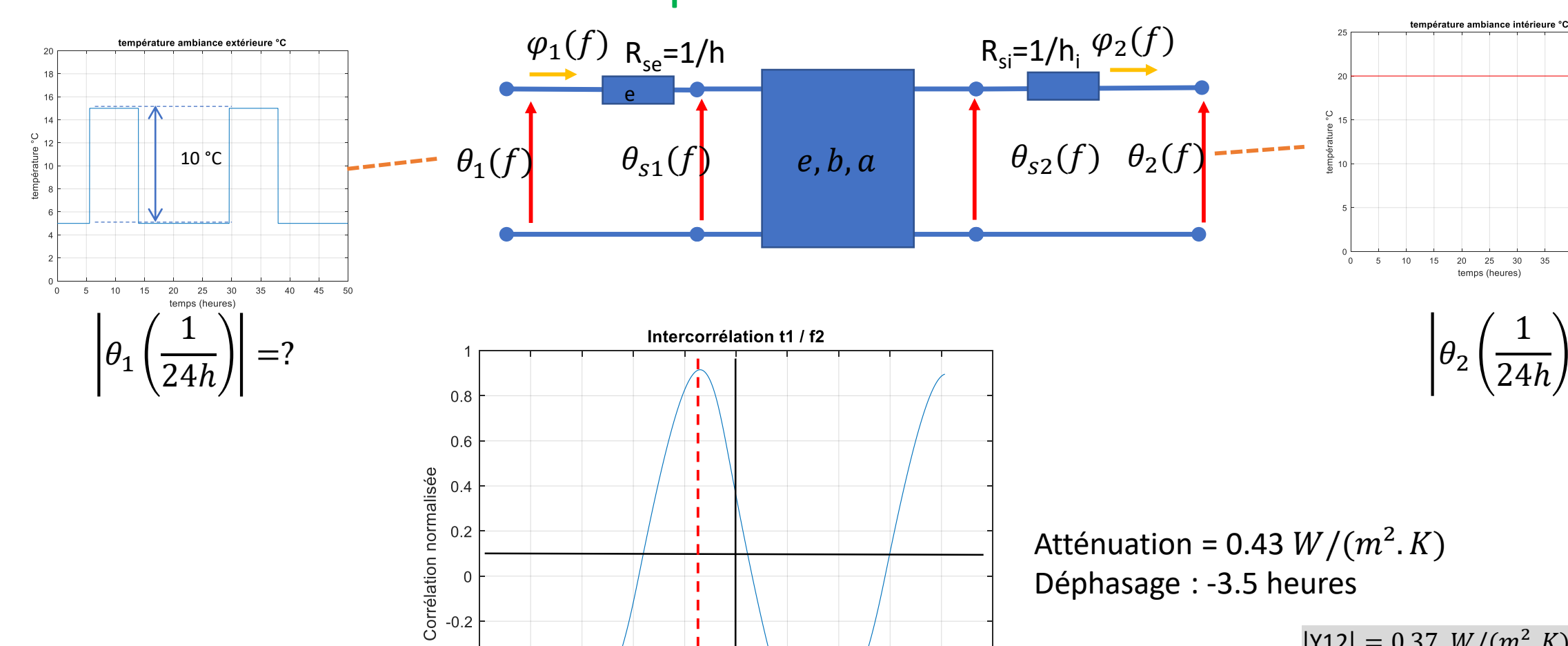
Amortissement =
$$0.56 W/(m^2.K)$$

$$|Y12| = 0.37 \ W/(m^2.K)$$

Déphasage =
$$arg(Y12)*24/2\pi = -3.97 h$$



Détermination à partir des données



-0.4

-0.6

-20

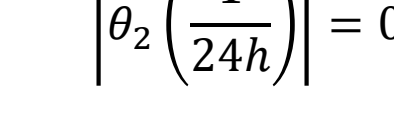
-15

-5

Lag (heures)

20

15



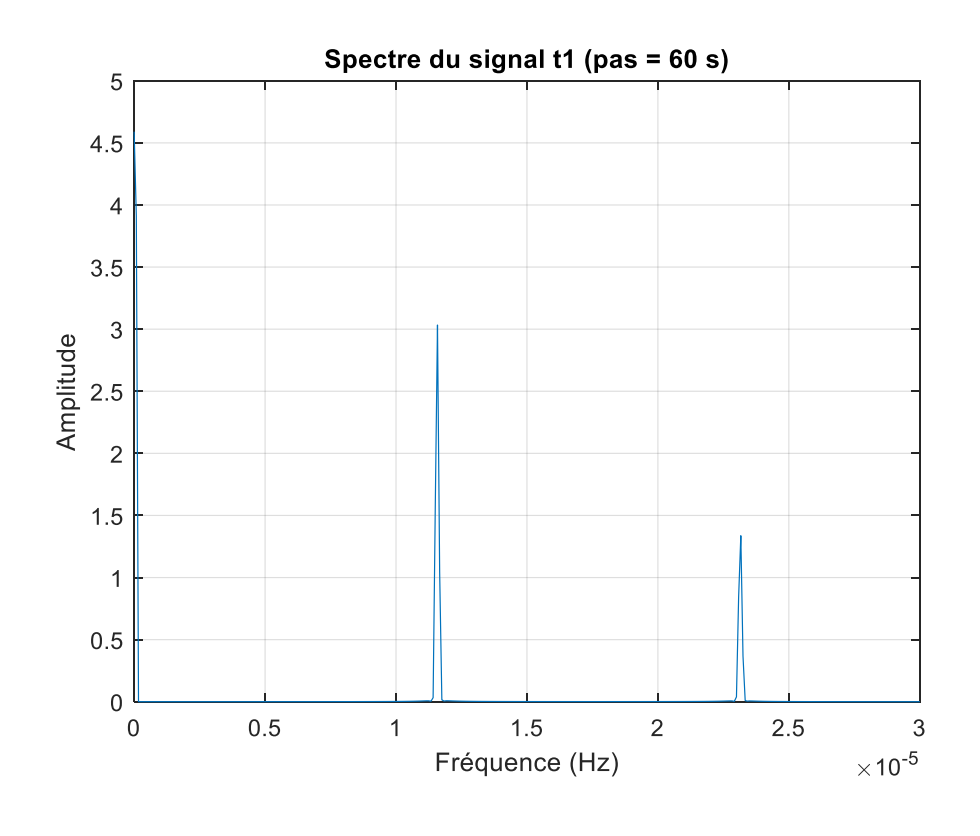
temps (heures)

$$|Y12| = 0.37 \ W/(m^2.K)$$

Déphasage = $arg(Y12)*24/2\pi = -3.97 h$



Profondeur de pénétration



$$\delta(f) = \sqrt{\frac{\lambda T}{\pi \rho c}} = \sqrt{\frac{a}{\pi f}}$$
 profondeur de pénétration périodique (m)

• Fondamentale : 1 jour = 86400 s : $f0=1.157.10^{-5} \text{ Hz}$

• 1^{er} harmonique : 12h = 43200 s : $f1=2.314.10^{-5}$ Hz

• $2^{\text{ème}}$ harmonique : 8h = 28800 s : $f2=3.472.10^{-5}$ Hz

Conductivité thermique λ =0.1 W/(m.K)

Chaleur volumique $\rho c = 200000 \text{ J/(K.m}^3)$

Epaisseur = 0.2 m

Diffusivité thermique a=5.10⁻⁷ m²/s

$$\delta(f0) = 0.117 \,\mathrm{m}$$

$$\delta(f1) = 0.083 \,\mathrm{m}$$

$$\delta(f2) = 0.068 \,\mathrm{m}$$

Si épaisseur > 3 $\delta(f)$ paroi semi — infinie pour la composante f



Passage au milieu semi-infini

$$\begin{bmatrix} \varphi_1(f) \\ -\varphi_2(f) \end{bmatrix} = \frac{1}{Z_{12}} \begin{bmatrix} -Z_{11} & 1 \\ 1 & -Z_{22} \end{bmatrix} \begin{bmatrix} \theta_1(f) \\ \theta_2(f) \end{bmatrix}$$

$$\varphi_1(f) = \frac{-Z_{11}}{Z_{12}} \cdot \theta_1(f) + Z_{22} \cdot \theta_2(f)$$

Pour un milieu homogène :

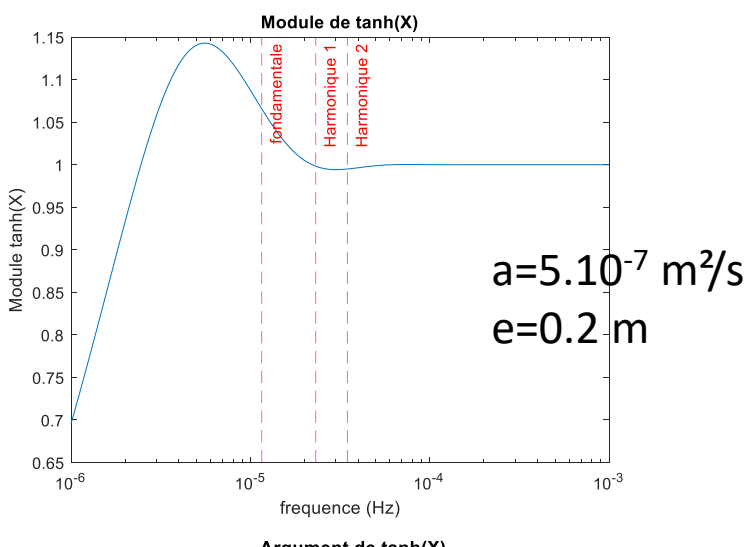
$$\varphi_{1}(f) = \frac{ch\left(e\sqrt{\frac{j2\pi f}{a}}\right)}{\frac{1}{b\sqrt{j2\pi f}}.sh\left(e\sqrt{\frac{j2\pi f}{a}}\right)} \cdot \theta_{1}(f) = b\sqrt{j2\pi f} \cdot tanh\left(e\sqrt{\frac{j2\pi f}{a}}\right)$$

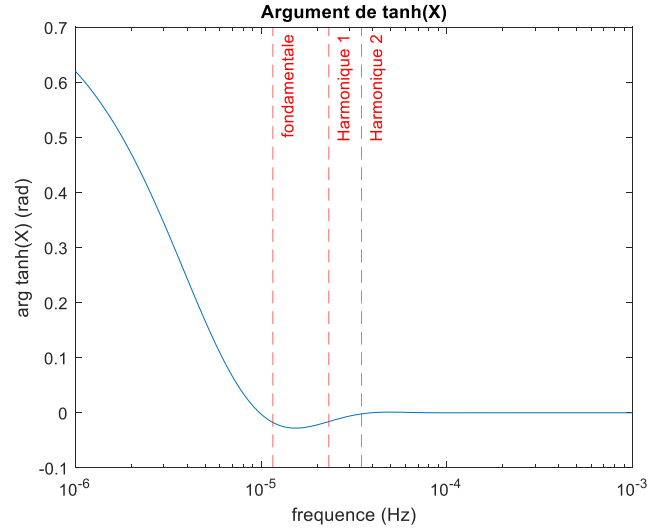
$$\frac{\theta_1(f)}{\varphi_1(f)} = \frac{1}{b\sqrt{j2\pi f}} = Z_{inf}(f)$$

Impédance de milieu semi-infini

$$b = \sqrt{\lambda \rho c} = \lambda / \sqrt{a}$$

effusivité J.m⁻¹.K⁻¹.s^{-1/2}







Milieu semi-infini / Effusivité

$$\frac{\theta_1(f)}{\varphi_1(f)} = \frac{1}{b\sqrt{j2\pi f}} = Z_{inf}(f)$$

Conductivité thermique λ =0.1 W/(m.K) Chaleur volumique ρ c = 200000 J/(K.m³)

Effusivité
$$b = \sqrt{\lambda \rho c} = \lambda/\sqrt{a}$$
 =141 J.m⁻¹.K⁻¹.s^{-1/2}

Température de contact entre 2 matériaux

$$T_c = \frac{b_1.T_1 + b_2.T_2}{b_1 + b_2}$$

Matériaux	Effusivité J.m ⁻¹ .K ⁻¹ .s ^{-1/2}
polystyrène	20 à 60
bois	100 à 600
Fibre de bois	110
Plâtre	450
béton	1200 à 2500
peau	1200
aluminium	23000



5ème Ecole d'automne du GDR MBS

Eco-conception des matériaux biosourcés et géosourcés : de la ressource à la fin de vie

12 au 16 octobre 2025, Douai



Matériaux à changement de phase (MCP) dans les matériaux biosourcés

Laurent ZALEWSKI

Professeur des universités
Université d'Artois
Directeur Faculté des Sciences Appliquées
Laboratoire de Génie Civil et géo-Environnement (LGCgE)
laurent.zalewski@univ-artois.fr















Stockage de l'énergie thermique

• Stockage énergie sensible --> élévation température du matériau

Pour une masse m de matière, si sa température change de T_1 à T_2 à pression constante :

$$Q_{
m sensible} = m\, \int_{T_1}^{T_2} C_p(T)\, dT$$

- $Q_{
 m sensible}$ = énergie sensible (J)
- $C_p(T)$ = capacité calorifique massique (J·kg⁻¹·K⁻¹), fonction de T
- T_1, T_2 = températures initiale et finale (K ou °C)





• Stockage énergie latente --> changement d'état du matériau

Modéliser les états physiques Profs Etat solide Etat liquide Etat gazeux éloignées en contact en contact mobiles immobiles mobiles positions aléatoires positions aléatoires bien organisées L'état liquide est L'état gazeux est L'état solide est dispersé compact compact et désordonné. et désordonné. et ordonné.

Lorsque de l'énergie est apporté à température de fusion :

- Cette énergie sert à rompre partiellement les liaisons ou interactions qui maintiennent la structure solide.
- Les molécules gagnent la liberté de glisser les unes par rapport aux autres. Mais leur énergie cinétique moyenne (donc la température) reste la même tant que toute la matière n'est pas fondue.





• Stockage énergie latente --> changement d'état du matériau

Soit une masse d'eau m = 1kg subit un changement d'état solide à -20°C vers un état liquide à 80°C

$$Q(T) = m. C_{p-glace} (T - T_{ref}) + m. L_f + m. C_{p-eau} (T_{fin} - T)$$



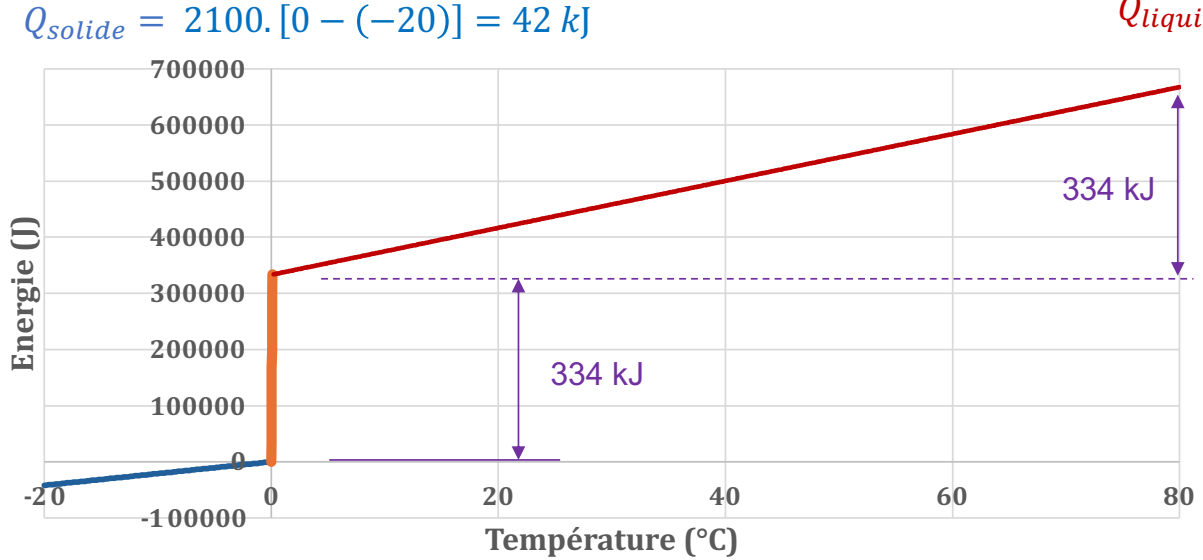
• $C_{\text{n-glace}} = 2.1 \text{ kJ/(kg} \cdot \text{K)}$ est la capacité thermique Lf = 334 kJ/kgmassique de la glace

 T_{ref} est la température de référence (ici $-20^{\circ}C$)

est la chaleur latente de fusion

Cp-eau = 4.18 kJ/(kg·K) est la capacité thermique massique de l'eau à l'état liquide

$$Q_{liquide} = 4180.[80 - 0] = 334 \, kJ$$



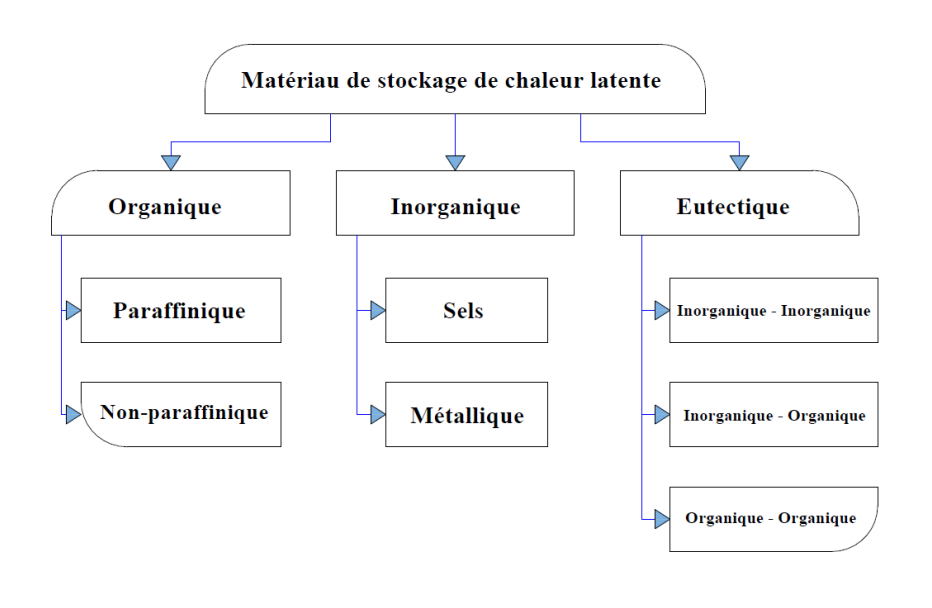
Stockage latent permet de stocker plus d'énergie qu'un matériau classique à volume égal

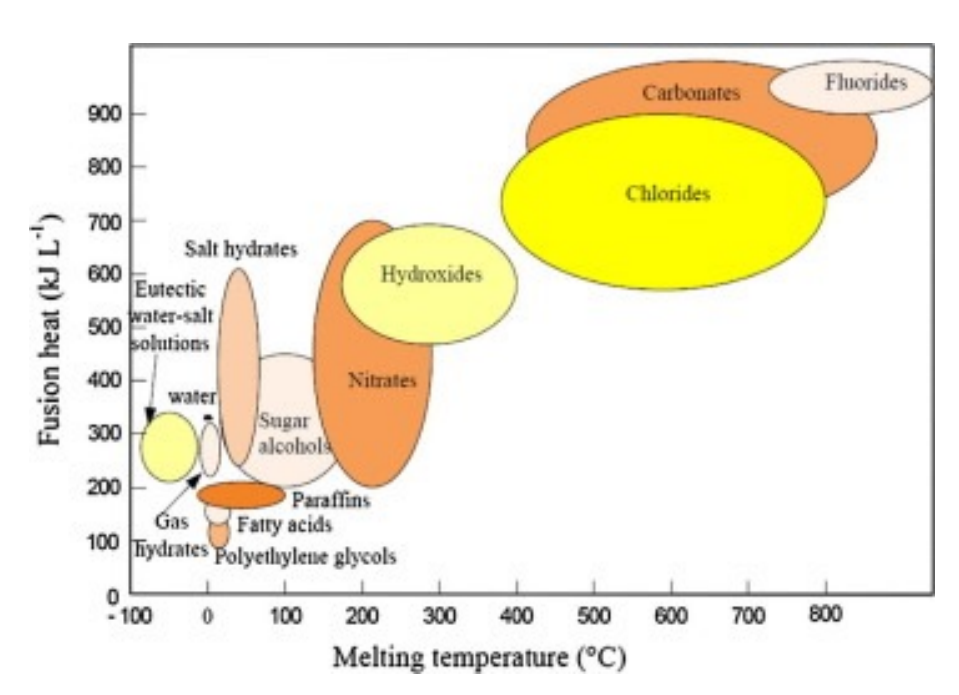




• Plusieurs familles MCP:

Heat and cold storage with PCM, H Mehling, LF Cabeza, Heat and mass transfer, 2008 Springer





⇒ **Choix du MCP**: capacité de stockage, prix, durabilité, température fusion, stabilité chimique, Dilatation/contraction --> Contraintes mécaniques, compatibilité avec contenant, problème de ségrégation, matériau bio-sourcé, recyclabilité, etc.





• Conditionnement des MCP:

Microencapsulation



Macroencapsulation





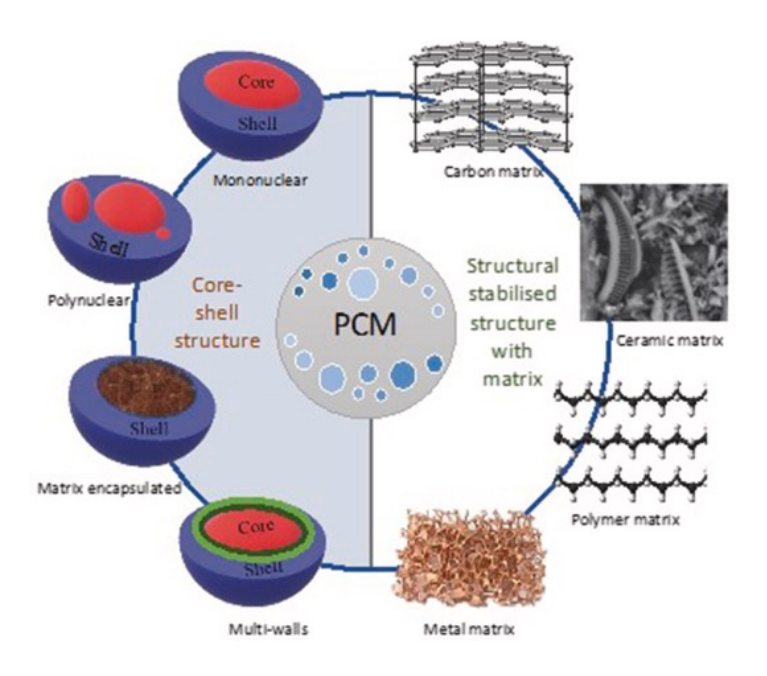
Macroencapsulation - CSM PCM in Aluminum Case

Accumulateur à changement de phase





Matériau composite

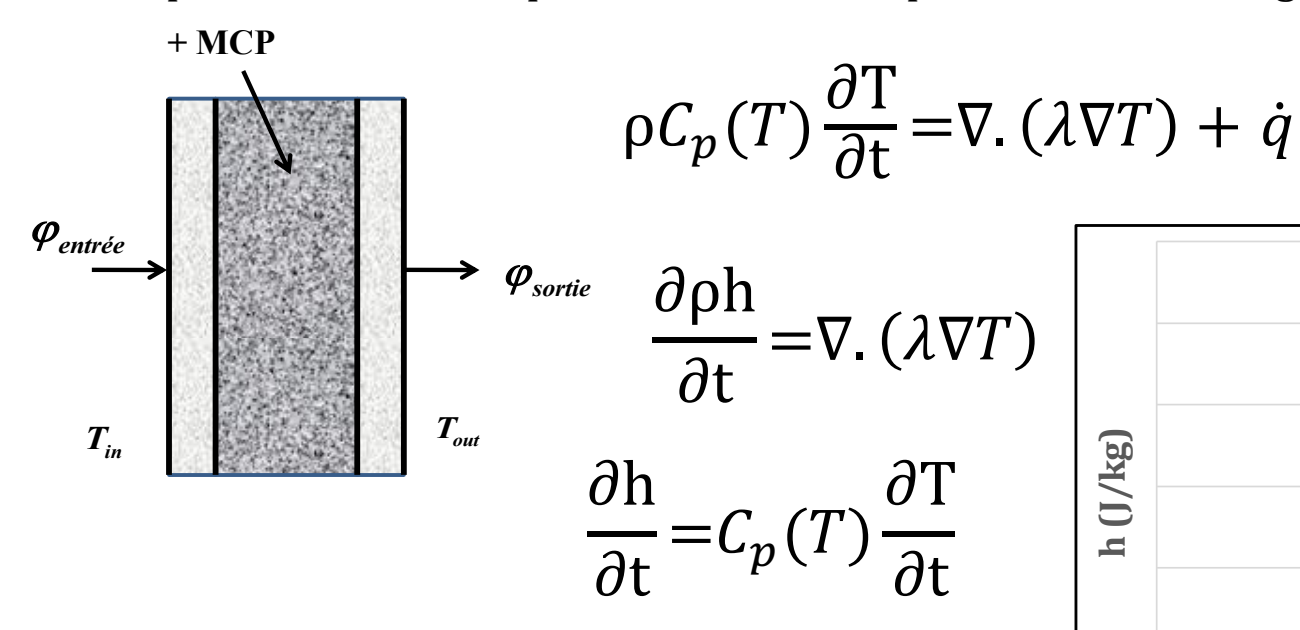


Zhu Jang, Anabel Palacios, Boyang Zou, Yanqi Zhao, and al. A review on the fabrication methods for structurally stabilised composite phase change materials and their impacts on the properties of materials, Renewable and Sustainable Energy Reviews, Volume 159, 2022



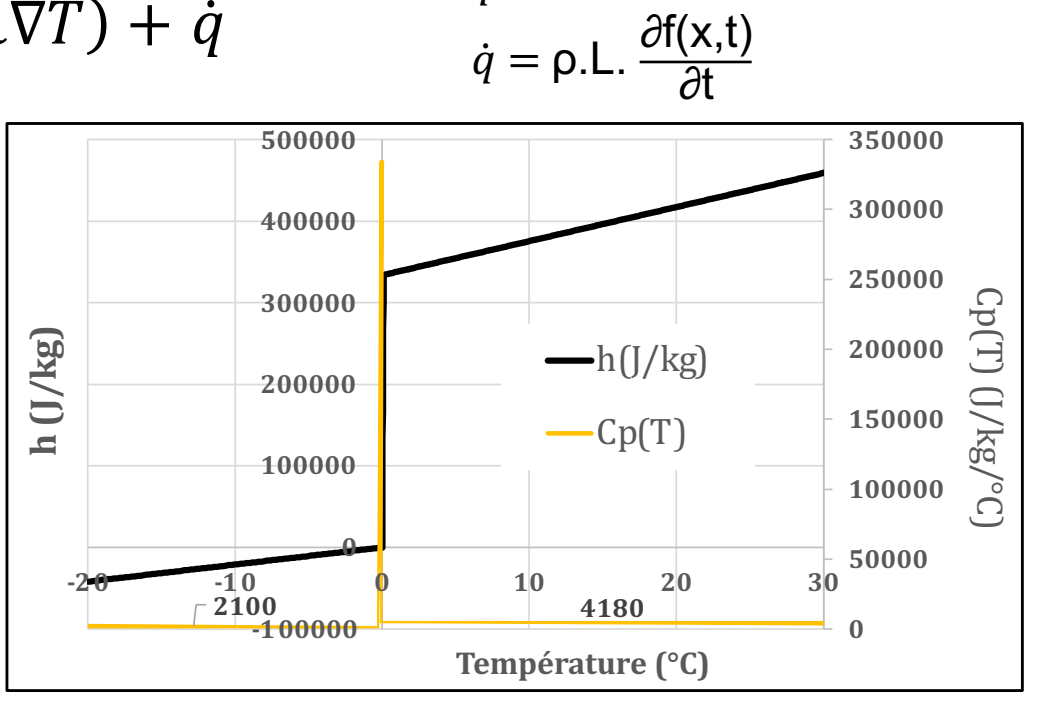


• Caractérisation : nécessité de connaître les propriétés des matériaux pour modéliser leur comportement thermique et évaluer leurs performances énergétiques



⇒ méthode du Cp(T) apparent

⇒déterminer h(T)

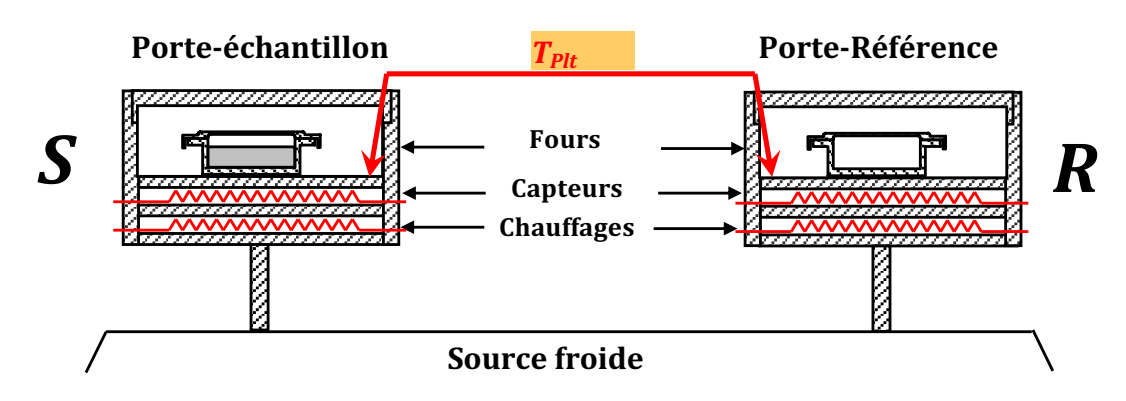


 \dot{q} = terme source





Calorimètre Différentiel à Balayage (DSC) • Caractérisation :

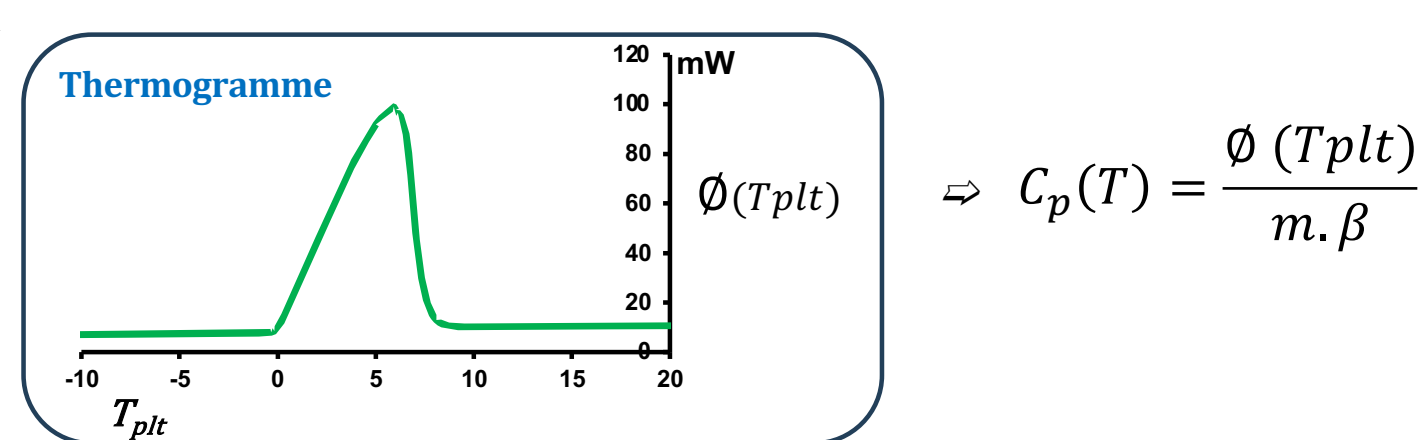


m: masse MCP: qques mg

$$T_{plt} = T_0 + \beta t$$

$$T_{plt} = T_0 + \beta t$$
 \Rightarrow $Flux : \phi(t)$ \Rightarrow $Flux : \phi(T_{plt})$

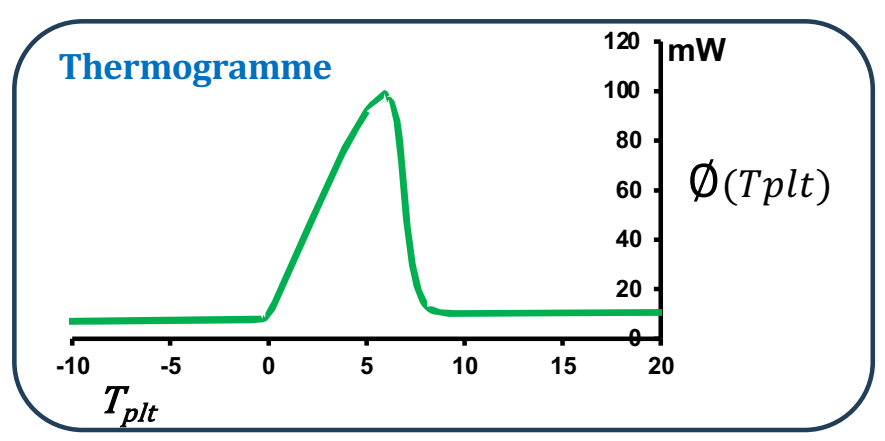
 β : vitesse réchauffement °C/min

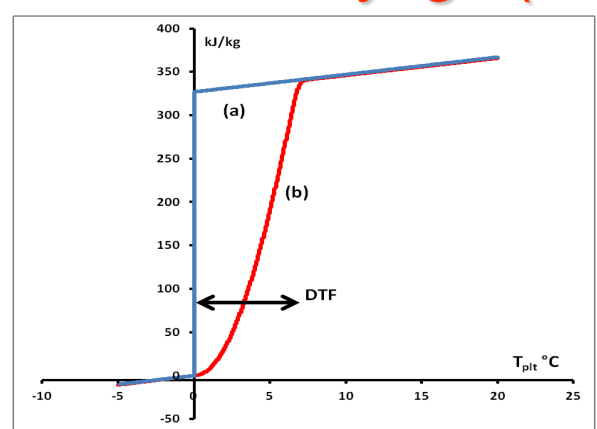






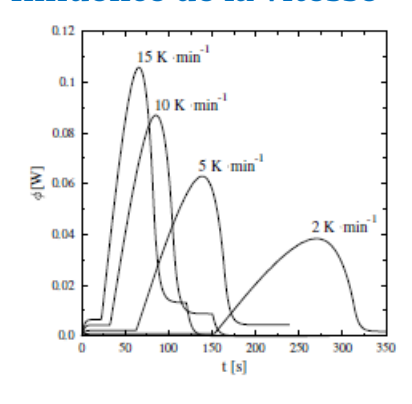
• Caractérisation : Calorimètre Différentiel à Balayage (DSC)

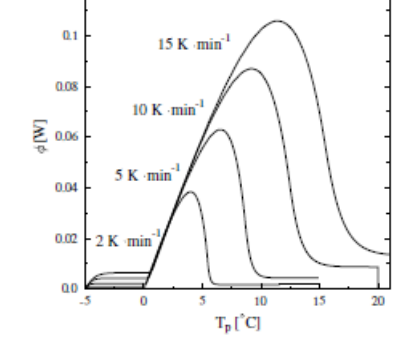




Corps pur

Influence de la vitesse





(a) abscisse en temps

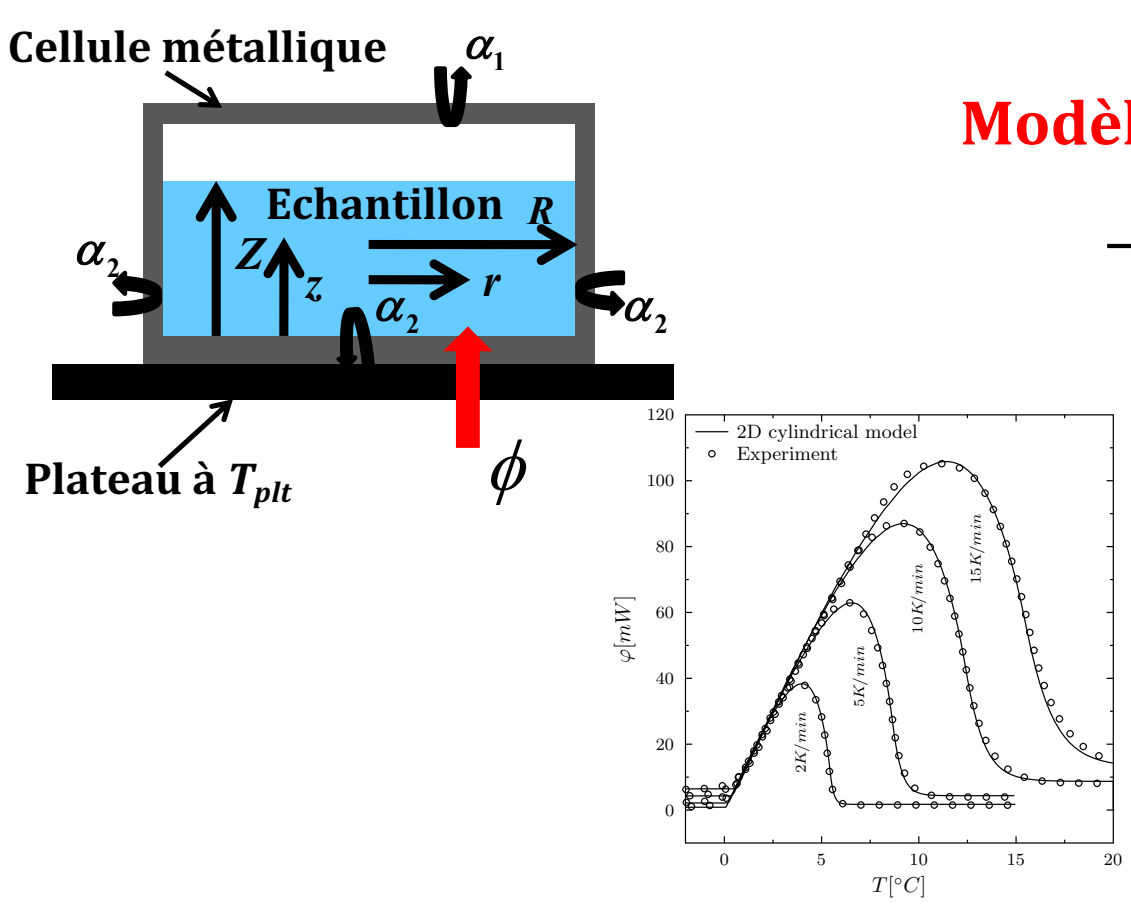
(b) abscisse en température





• Caractérisation : Calorimètre Différentiel à Balayage (DSC)

Corps pur



Modèle de la cellule

$$-k \overrightarrow{\nabla T} \cdot \overrightarrow{n} = \alpha_i \left(T_i - T_{plt} \right) \quad \forall S_i$$

$$\phi(t) = \sum_{i} \alpha_{i} S_{i}(T_{plt}(t) - T_{i})$$

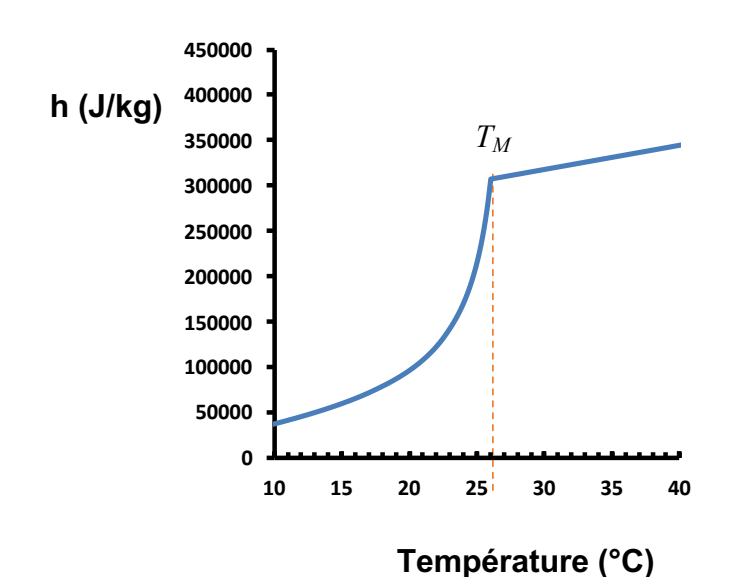
 $\Rightarrow Flux: \phi(T_{ech})$

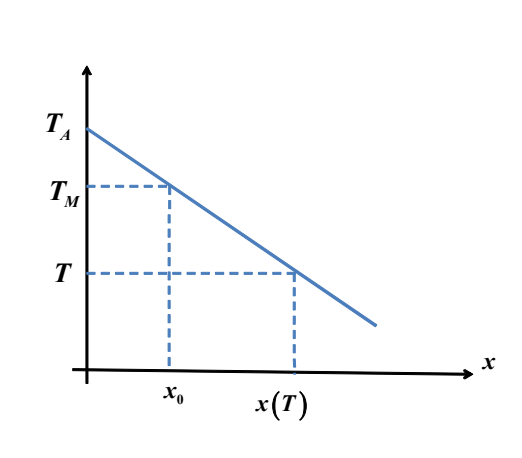


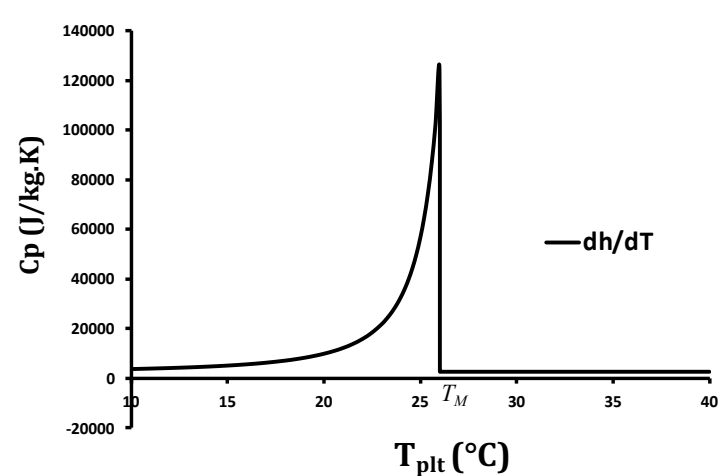


· Caractérisation des MCP :

- O DSC: pas une méthode directe pour déterminer les propriétés du MCP
- o Echantillons de quelques mg --> quid des matériaux composites ?
- **Output** La plupart des MCP ne sont pas purs



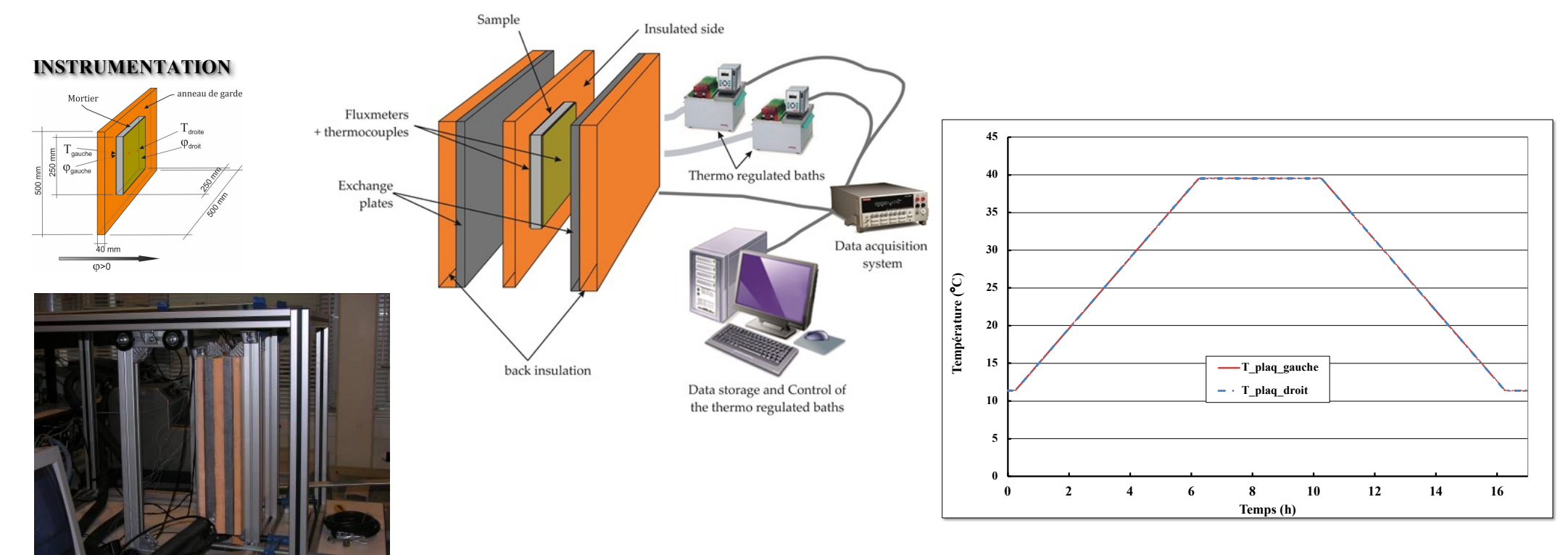








- Caractérisation des MCP : Banc fluxmétrique
 - o Matériau composite : Mortier "classique" & Mortier + MCP (microencapsulé)

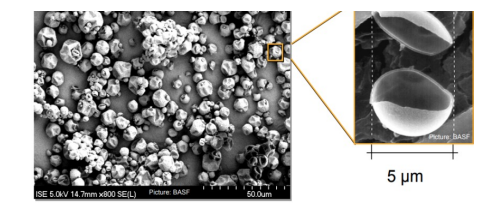






- Caractérisation des MCP : Banc fluxmétrique
 - Matériau composite : Mortier "classique" & Mortier + MCP (microencapsulé)

Estimation: masse de MCP: 19% de la masse totale de matériau sec (MCP + ciment + sable)



Microbilles de paraffine - image microscopique ref: CSTB, Laurence Le Stum BASF France



Mortier + Micronal DS 5001 X 25 x 25 x 4 cm

• M_1 : Masse de mortier "classique" = 5 kg; ρ_1 = 2000 kg/m³



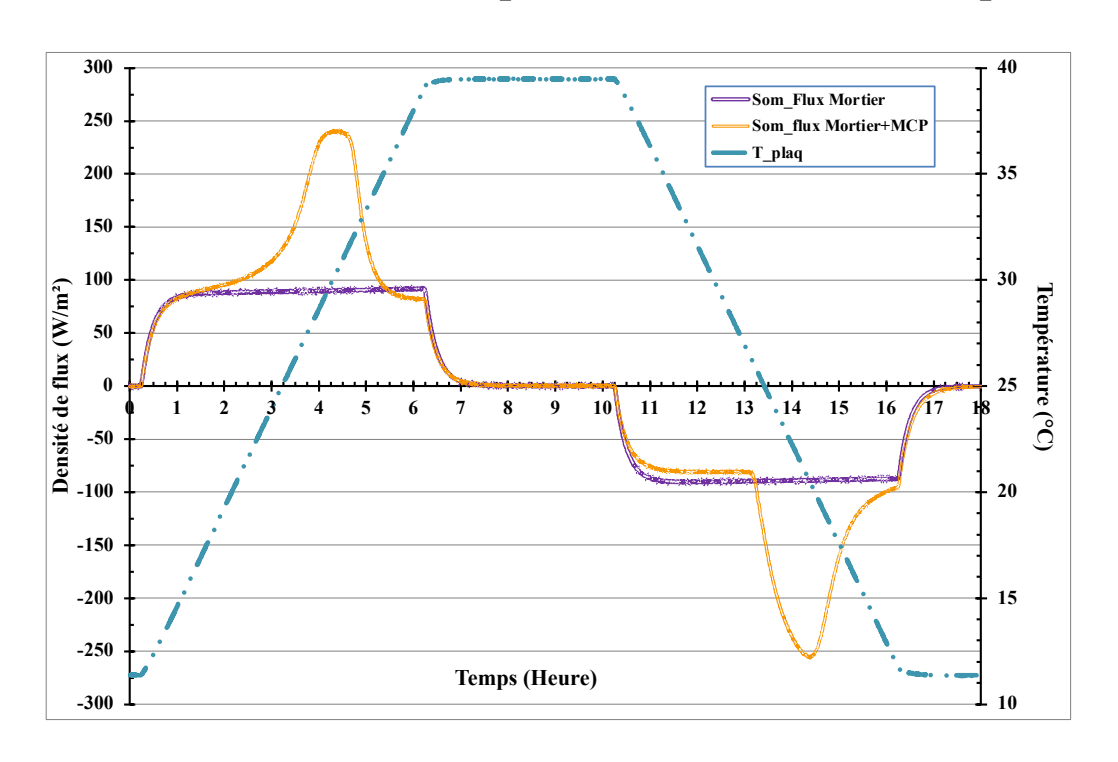
• M_2 : Masse du mortier avec MCP = 3,12 kg ; et ρ_2 = 1256 kg/m³

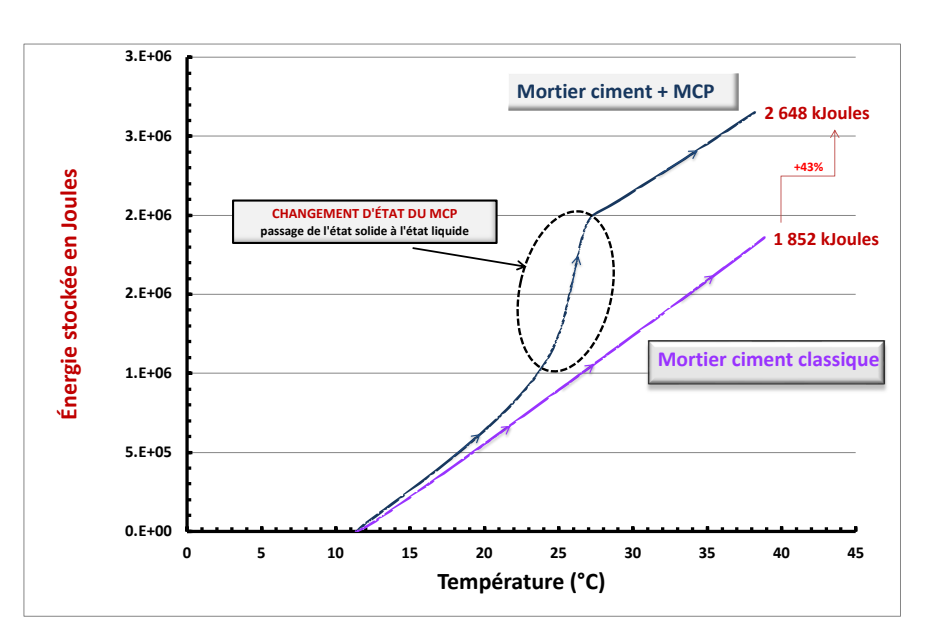






- Caractérisation des MCP : Banc fluxmétrique
 - o Matériau composite : Mortier "classique" & Mortier + MCP (microencapsulé)

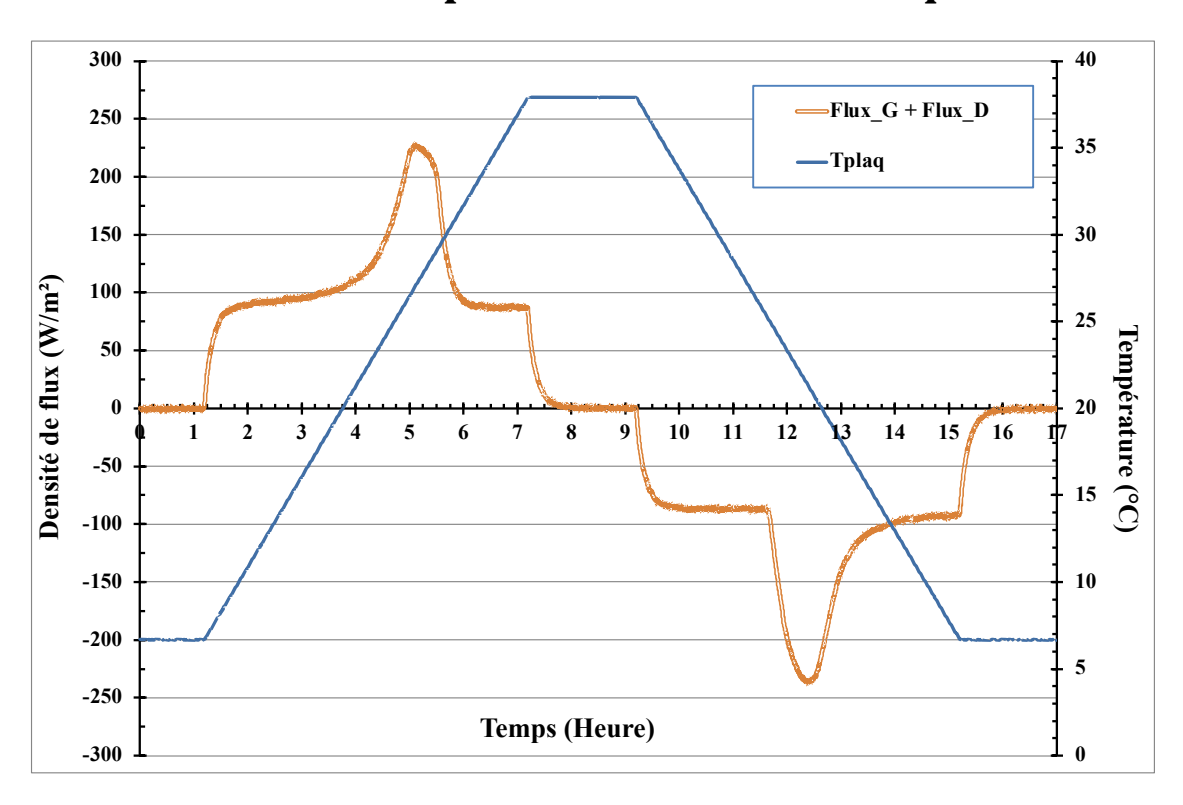


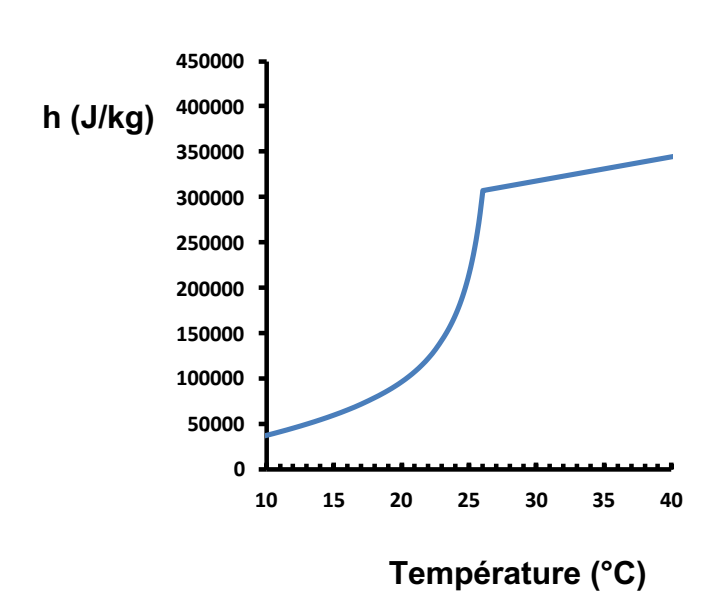






- Caractérisation des MCP : Banc fluxmétrique
 - Matériau composite : Mortier "classique" & Mortier + MCP (microencapsulé)

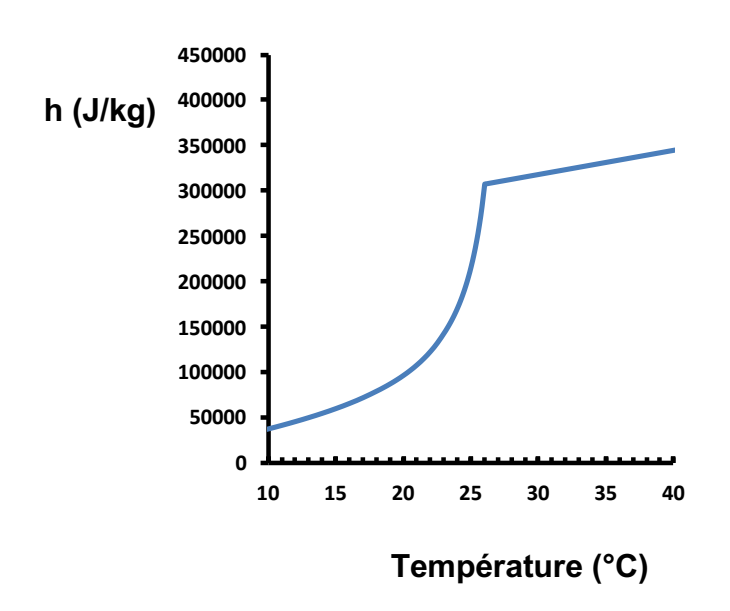








- Caractérisation des MCP : Banc fluxmétrique
 - Matériau composite : Mortier "classique" & Mortier + MCP (microencapsulé)



o Comment déterminer h(T)?

MCP est encapsulé dans de très petites particules

- ⇒ Le mortier composite est considéré comme un milieu homogène
- ⇒ L'échantillon est décrit par des propriétés moyennes, supposées isotropes
- ⇒ Tout effet de convection est négligé

Transfert thermique unidimensionnel

Le bilan énergétique est écrit dans un repère cartésien

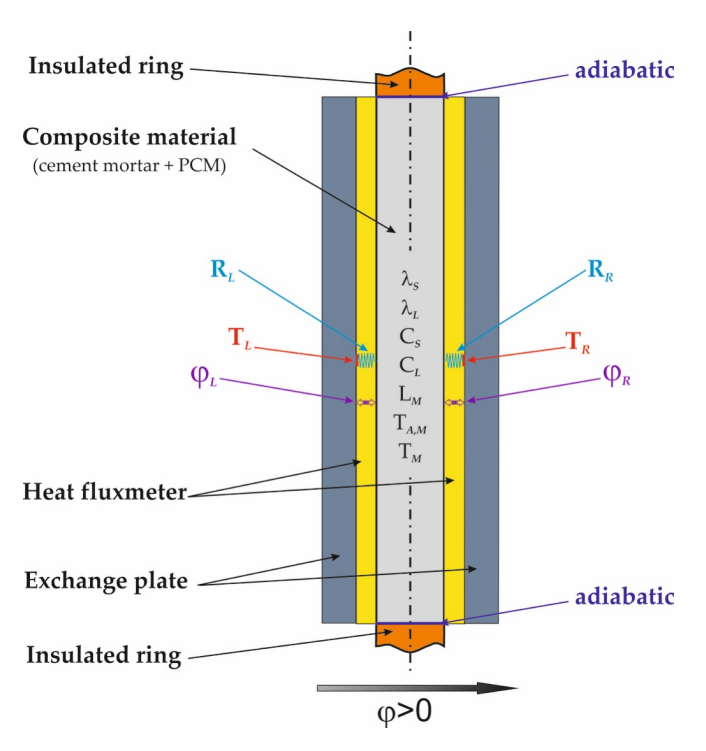
$$\frac{\partial \rho h}{\partial t} = \lambda \frac{\partial T^2}{\partial x^2}$$





- Caractérisation des MCP : Banc fluxmétrique
 - o Matériau composite : Mortier "classique" & Mortier + MCP (microencapsulé)

o Comment déterminer h(T)?



Conditions limites:

$$-\lambda \frac{\partial T}{\partial x}\Big|_{x=0} = \frac{1}{R_{G}} \left(T_{x=0} - T_{p_G}(t) \right) - \lambda \frac{\partial T}{\partial x}\Big|_{x=X} = \frac{1}{R_{D}} \left(T_{x=X} - T_{p_D}(t) \right)$$

Hypothèses:

- L'enthalpie massique est celle du matériau composite (mortier ciment + MCP)
- L'enthalpie du MCP est considérée comme celle d'une solution binaire

$$\frac{dh_{pcm}}{dT} = \begin{cases} c_{S,pcm} + (c_{L,pcm} - c_{S,pcm}) \left(\frac{T_A - T_M}{T_A - T}\right) - L_A \frac{T_A - T_M}{(T_A - T)^2} & if \ T < T_M \\ c_{L,pcm} & if \ T \ge T_M \end{cases}$$

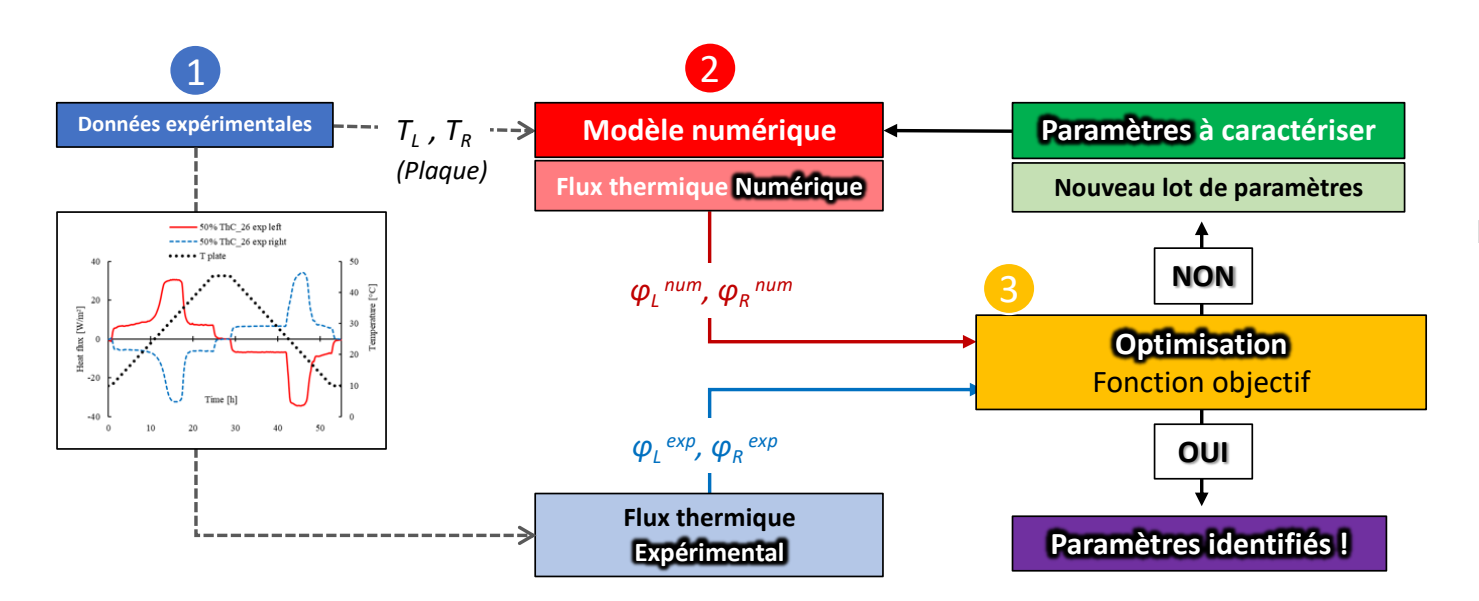




- Caractérisation des MCP : Banc fluxmétrique
 - Matériau composite : Mortier "classique" & Mortier + MCP (microencapsulé)

o Comment déterminer h(T)?

Méthode inverse



Minimisation d'une fonction objectif :

$$S = \sum_{i} \left(\phi_{\rm exp} - \phi_{num} \right)^2$$

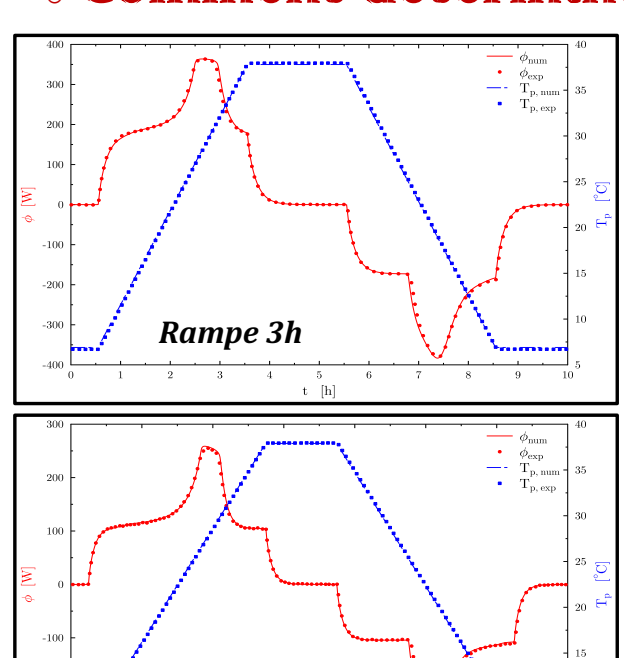
- Méthode de Nelder-Mead (simplexe)
- Newton / Quasi-Newton (BFGS, L-BFGS)
- -Algorithmes Génétiques





- Caractérisation des MCP : Banc fluxmétrique
 - Matériau composite : Mortier "classique" & Mortier + MCP (microencapsulé)

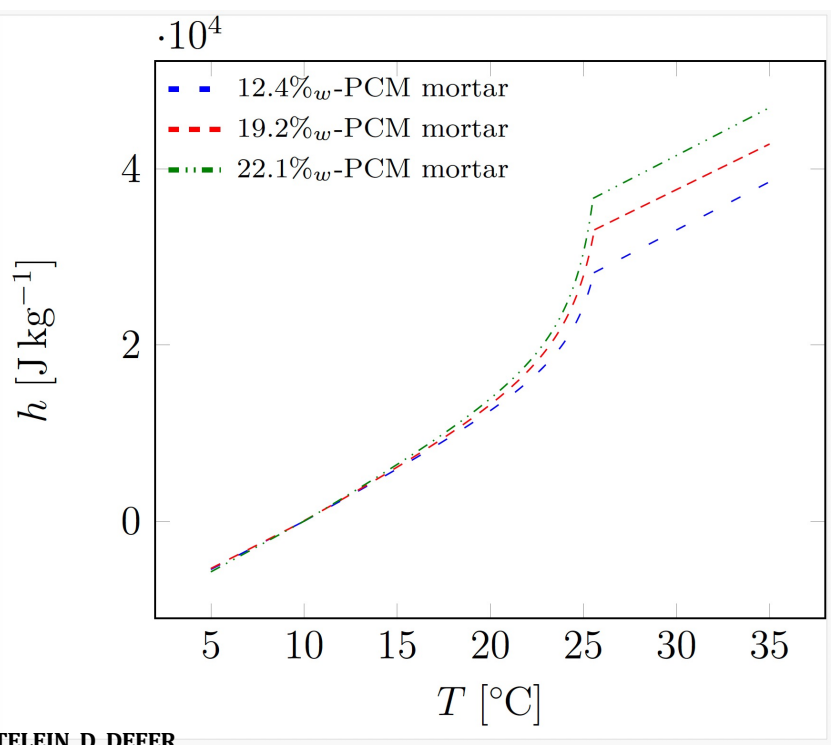
o Comment déterminer h(T)?



Rampe 5h

Mortier_MCP: 19% de MCP

$$\begin{split} &R_{G} = 1.39 \ 10^{-2} \ W^{-1}. K. m^{2} \\ &R_{D} = 3.2 \ 10^{-2} \ W^{-1}. K. m^{2} \\ &\lambda_{S} = 0.43 \ W. m^{-1}. K^{-1} \\ &\lambda_{L} = 0.44 \ W. m^{-1}. K^{-1} \\ &c_{S} = 1068 \ J. K^{-1}. kg^{-1} \\ &c_{L} = 1033 \ J. K^{-1}. kg^{-1} \\ &L_{A} = 18 \ 227 \ J. kg^{-1} \\ &T_{A} = 27.5 \ ^{\circ}C \\ &T_{M} = 25.7 \ ^{\circ}C \end{split}$$



L. ZALEWSKI, E. FRANQUET, S. GIBOUT, P. TITTELEIN, D. DEFER

Efficient Characterization of Macroscopic Composite Cement Mortars with Various Contents of Phase Change Material

Applied Sciences. 9 (2019) 1104. https://doi.org/10.3390/app9061104





• Objectif: Développer un matériau à base de fibres végétales et d'un MCP biosourcé.

Pourquoi associer les deux?

• Fibres végétales : Excellentes performances thermiques, hygroscopiques et acoustiques



- MCP: Stockage de chaleur, meilleure inertie thermique et maintien d'un environnement thermique confortable à l'intérieur.
- •Utilisations possibles : Revêtement intérieur de bâtiment, isolation, plafond suspendu

Intégration du MCP : Quel impact sur résistance mécanique, transferts hydriques et sur capacité de stockage ?





• Objectif: Développer un matériau à base de fibres végétales et d'un MCP biosourcé.

Mélange chènevotte et un Enduit Thermoconfort 26



Chanvre



Enduit Thermoconfort 26

Enduit THERMOCONFORT est un enduit intérieur à base de plâtre intégrant 75% de MCP biosourcés et microencapsulés ; Température changement état = 26°C

Problèmes initiaux : Malléabilité à l'état frais, apparition moisissures

Méthodologie:

Fabrication selon formulation ; Démoulage (3 j) ; Vérification de la moisissure (5 j) ; Evaluation de la résistance mécanique ; Caractérisation thermique et MBV après 28 jours





Mélange chènevotte et un Enduit Thermoconfort 26

Correction des problèmes :

- o Malléabilité ☞ ajout de superplastifiant végétal (Sika ViscoCrete)
- o Moisissure 🖙 ajout de chaux et ajustement de la quantité d'eau
- o Résistance ☞ ajout de chaux



Thermoconfort 26, chanvre et chaux

Composant (% masse sèche)	0 % ThC26	33 % ThC26	50% ThC26	60 % ThC26	66% ThC26
ThC 26	-	18,3	30,8	40	43
Chanvre	22,3	18,3	15,5	13,4	14,3
Chaux NHL5	22,3	18,3	15,5	13,4	7,1
Eau	55,4	45,1	38,2	33,2	35,6





Mélange chènevotte et un Enduit Thermoconfort 26

Types d'échantillons fabriqués :

Plaques 25x25x5 cm



Thermique

Cubes 10x10x10 cm



MBV

Cylindres 11x22 cm



Mécanique : compression

Prismes 4x4x16 cm



Mécanique : Flexion et compression

Plaques 40x40x4 cm



Plaque grande dimension

23

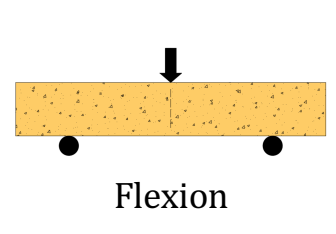




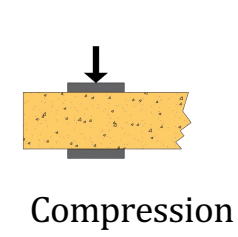
Mélange chènevotte et un Enduit Thermoconfort 26

Mécanique

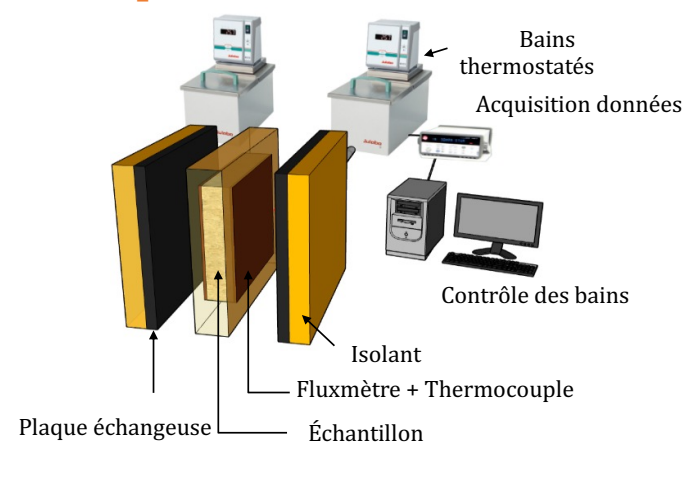








Thermique





Hydrique MBV



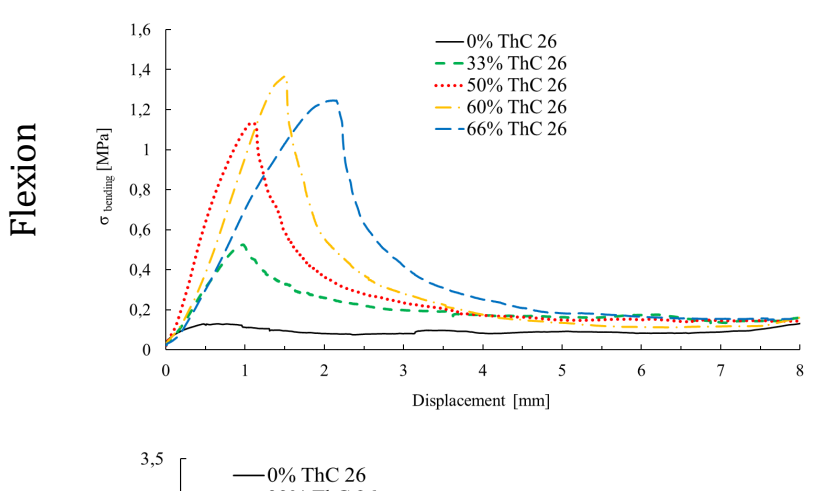


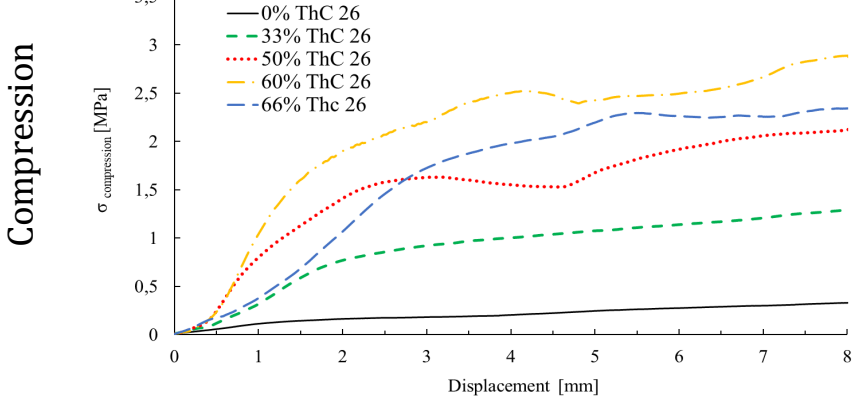




Mélange chènevotte et un Enduit Thermoconfort 26

Mécanique





Formulation	ρ [kg/m³]	σ _{bending} (MPa)	$\sigma_{compression}$ (MPa)
0% ThC_26	296	0,13	0,32
[Cerezo et al.]	460	-	0,76
[Elfordy et al.]	294 - 601	0,75 - 1,2	0,18 - 0,85
[CEBTP]	495	-	1,46
33% ThC_26	373	0,56	1,25
50% ThC_26	434	1,21	2,14
60% ThC_26	459	1,34	2,83
66% ThC_26	421	1,24	2,39

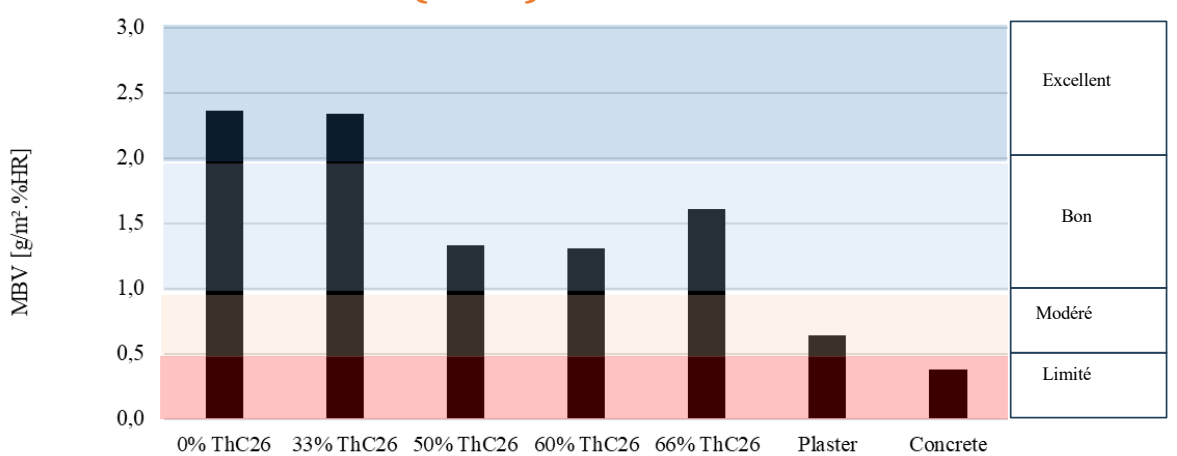
L'ajout de MCP augmente la masse volumique du matériau composite et sa résistance mécanique





Mélange chènevotte et un Enduit Thermoconfort 26

Hydrique / Moisture Buffer Value (MBV)



Formulation	Densité [kg/m³]	épaisseur [m]	Surface exposée [m²]	MBV [g/m².%HR]
0% ThC_26	296	0.10	0.01	2.36
33% ThC_26	373	0.10	0.01	2.34
50% ThC_26	434	0.10	0.01	1.33
60% ThC_26	459	0.10	0.01	1.30
66% ThC_26	421	0.10	0.01	1.61

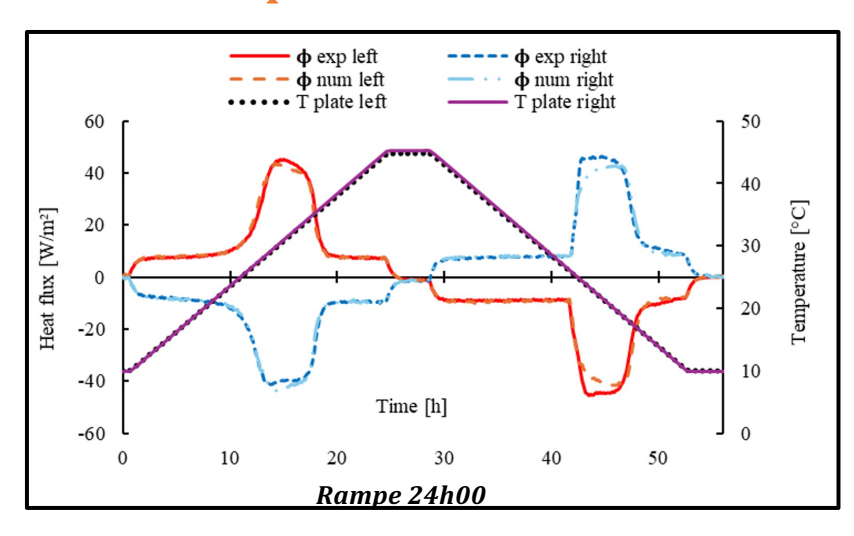
L'ajout de MCP réduit la capacité d'un matériau à échanger de l'humidité avec son environnement mais le MBV reste "excellent" pour 33% et "bon" pour les % supérieurs



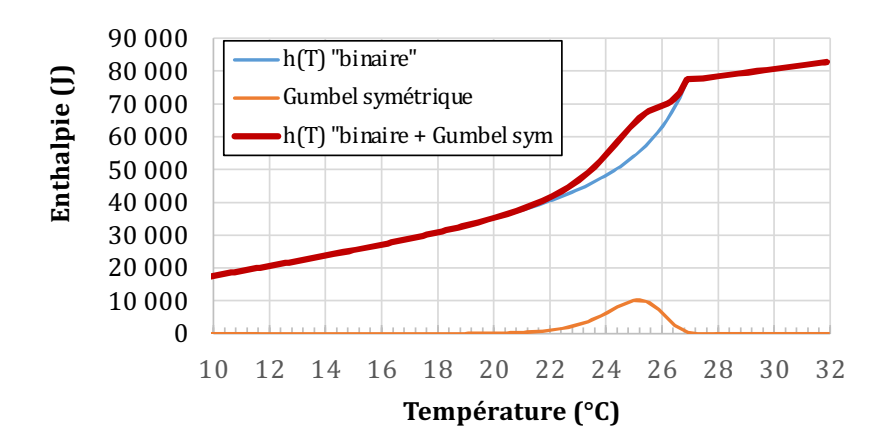


Mélange chènevotte et un Enduit Thermoconfort 26

Thermique



1. Modèle d'une solution binaire pour expression de l'enthalpie n'est adapté ⇒ Ajout d'une fonction : fonction de Gumbel inverse



$$\frac{dh_{mcp}}{dT} = \begin{cases} C_{solid} \cdot \left(1 - \frac{T_{Am} - T_{Mm}}{T_{Am} - T}\right) + C_{liquid} \cdot \left(\frac{T_{Am} - T_{Mm}}{T_{Am} - T}\right) + \left(\frac{T_{Am} - T_{Mm}}{T_{Am} - T}\right) \cdot \left(\frac{\psi_{fusion} \cdot L_{A}}{T_{Am} - T}\right) + f_{Gumbel_fusion}(T) & T \leq T_{M} - T_{Mm} -$$

$$f_{\text{Gumbel_fusion}}(T) = \left(\frac{1}{b_m} exp\left(-exp\left(\frac{T-a_m}{b_m}\right)\right). exp\left(\frac{T-a_m}{b_m}\right)\right). (1-\Psi_{\text{fusion}}). L_A$$

⇒ 14 paramètres à estimer

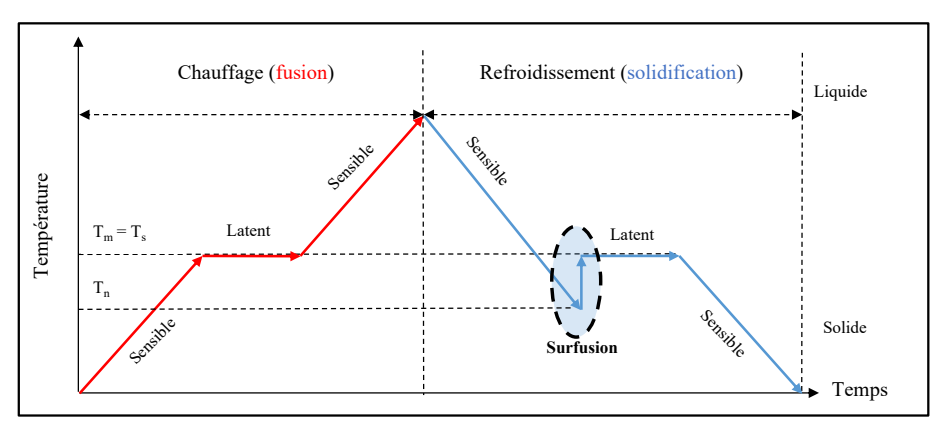




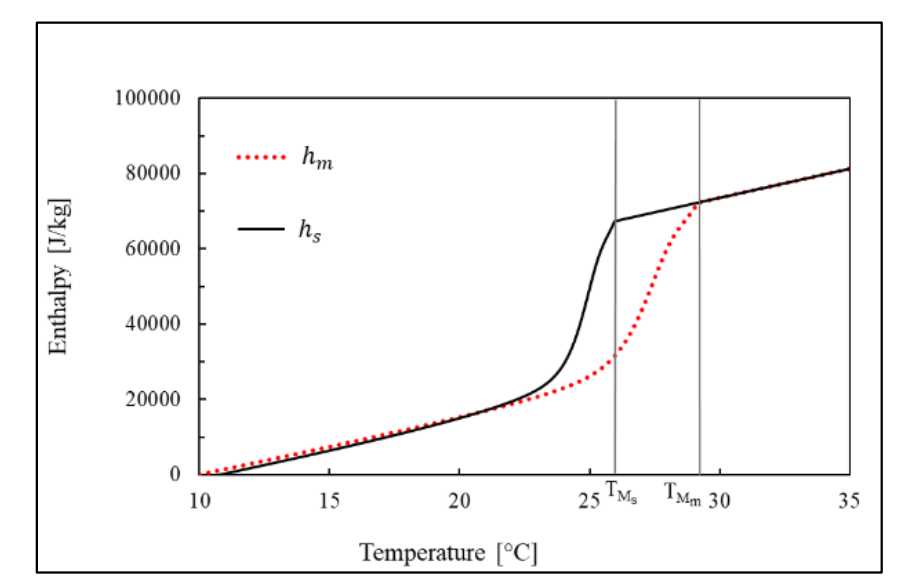
Mélange chènevotte et un Enduit Thermoconfort 26

Thermique

Phénomène de surfusion



Surfusion pour un corps pur



$$\frac{dh_{mcp}}{dT} = \begin{cases} C_{solid} \cdot \left(1 - \frac{T_{As} - T_{Ms}}{T_{As} - T}\right) + C_{liquid} \cdot \left(\frac{T_{As} - T_{Ms}}{T_{As} - T}\right) + \left(\frac{T_{As} - T_{Ms}}{T_{As} - T}\right) \cdot \left(\frac{\psi_{solid} \cdot L_{A}}{T_{A} - T}\right) + f_{Gumbel_solid}(T) & T \leq T_{M} \\ C_{liquid} & T \geq T_{M} \end{cases}$$

$$f_{Gumbel_solid}(T) = \left(\frac{1}{b_s}exp\left(-exp\left(\frac{T-a_s}{b_s}\right)\right).exp\left(\frac{T-a_s}{b_s}\right)\right).(1-\Psi_{solid}).L_A \Rightarrow \textbf{5 paramètres de plus à estimer}\left(T_{A_s},T_{M_s},a_s,b_s,\Psi_s\right)$$
28

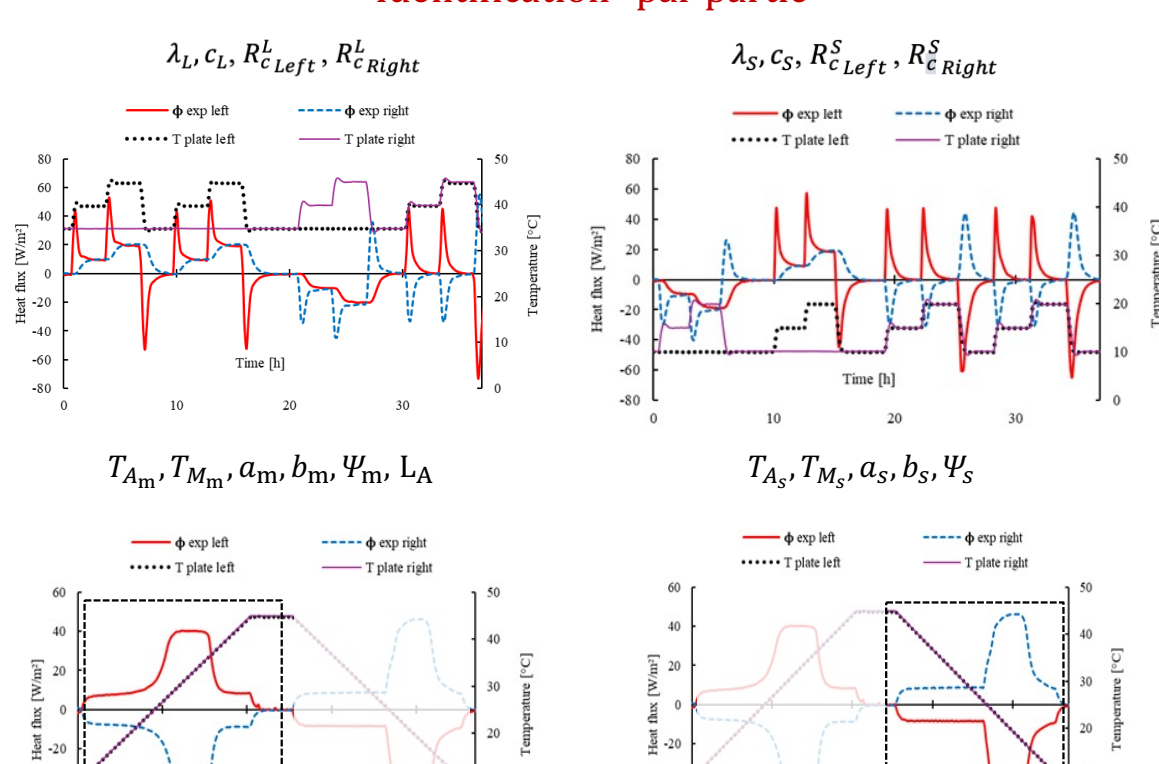


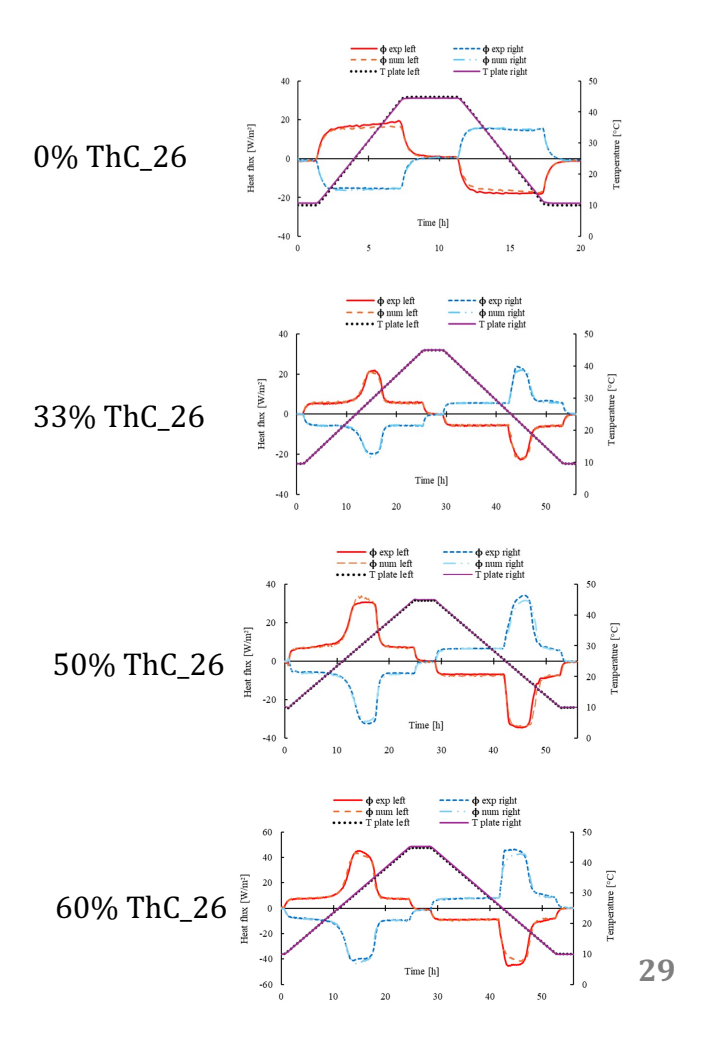


Mélange chènevotte et un Enduit Thermoconfort 26

Thermique

Identification "par partie"





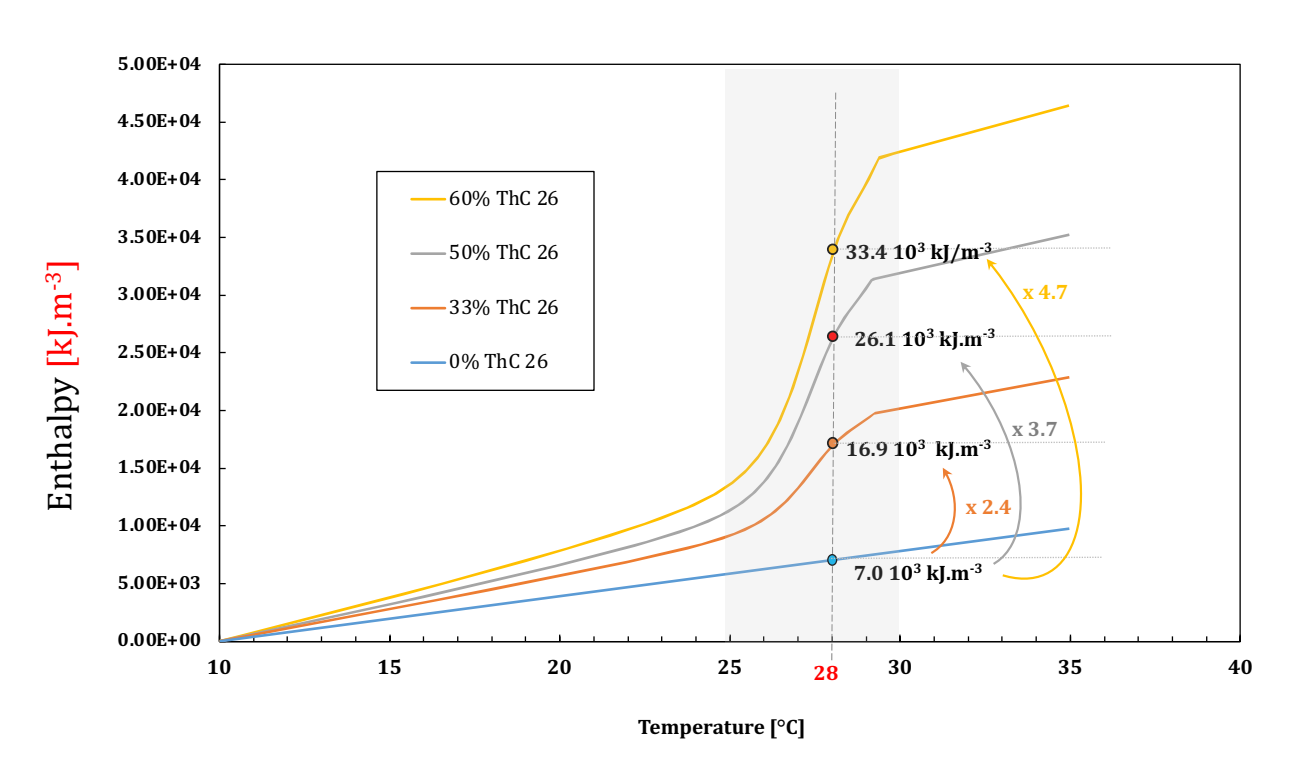




Mélange chènevotte et un Enduit Thermoconfort 26

Thermique

Résultats



L'ajout de MCP augmente très sensiblement la capacité de stockage d'énergie





Mélange chènevotte et un Enduit Thermoconfort 26

Synthèse

Mécanique

A conforter : mise en œuvre ⇒ compactage normalisé

Hydrique / Moisture Buffer Value (MBV)

Intégration de MCP ne semble pas impacter ce paramètre dans la limite des 30%

Thermique

L'ajout de MCP augmente très sensiblement la capacité de stockage d'énergie

Paramètres à explorer

- ⇒ Vieillissement MCP; fuite dans matrice
- ⇒ Impact sur qualité de l'air
- ⇒ Recyclabilité des matériaux composites ⇒ ACV
- ⇒ "hystérésis" ⇔ surfusion : impact sur simulations numériques et de fait sur estimation des bilans énergétiques lors des fusions/solidifications partielles
- ⇒ Impact du changement de phase (thermique) sur transferts hydriques